

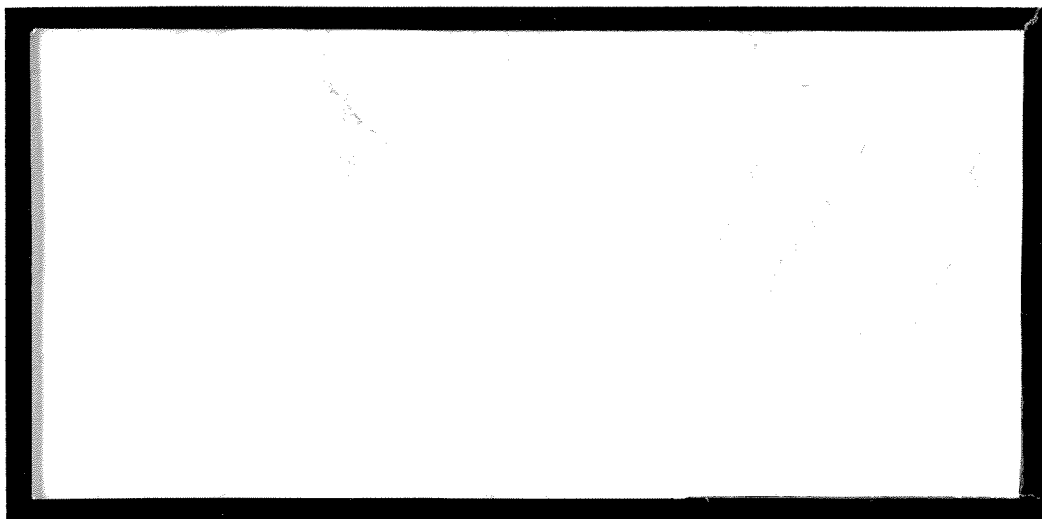
2001-198

DUP



TÜRKİYE BİLİMSEL VE
TEKNİK ARAŞTIRMA KURUMU

THE SCIENTIFIC AND TECHNICAL
RESEARCH COUNCIL OF TURKEY



**Makina, Kimyasal Teknolojiler, Malzeme ve İmalat Sistemleri
Araştırma Grubu**

**Mechanical Engineering, Chemical Technologies, Material
Sciences and Manufacturing Systems Research Grant
Committee**

**KOMPOZİT CAM KİRİŞLERİN DOĞRUSAL OLMAYAN
DAVRANIŞLARI**

PROJE NO : MİSAG-137

**DOÇ.DR.MEHMET ZÜLFÜ AŞIK
SELİM TEZCAN**

**TEMMUZ 2001
ODTÜ - ANKARA**

ÖNSÖZ

KOMPOZİT CAM KİRİŞLERİN DOĞRUSAL OLMAYAN DAVRANIŞLARI

MİSAG-137 nolu proje lamine cam kırışlerin davranışının üzerine bir çalışmadır. Projeye ilgili çalışmalar 20 Ağustos 1999 tarihinde başlamış ve 20 Şubat 2001 tarihinde sonuçlanmıştır. Doç. Dr. Mehmet Zülfü Aşık projede yürütücü olarak, ODTÜ Mühendislik Bilimleri Bölümü araştırma görevlisi Sayın Selim Tezcan proje araştırmacısı olarak görev almışlardır. TÜBİTAK tarafından desteklenen projenin deneyleri ODTÜ Mühendislik Bilimleri Bölümü Mekanik Laboratuvarı'da gerçekleştirilmiştir. Proje'ye katkısı olan diğer kurumlar ise ODTÜ ve Trakya Cam Sanayii A.Ş. Otocam Fabrikası'dır. Proje araştırmacıları, projenin gerçekleşmesinde katkıları olan kurum ve kuruluşlara teşekkür ederler.

ABSTRACT

NONLINEAR BEHAVIOR OF COMPOSITE GLASS BEAMS

In this study, a mathematical model for the bending of laminated glass beams is developed by the minimization of total potential energy of the system. The model is then verified by conducting experiments and by using finite element models for a simply supported beam. It is further used to investigate the effect of various factors like ambient temperature, thickness of the interlayer, width ve length of the beam etc. as well as to distinguish the effect of the transition temperature of the interlayer on the strength factor of the laminated glass from the effect of nonlinearity observed in plate behavior. To this latter end, the nonlinear behavior of fixed end laminated glass beams is also investigated through finite element method.

Keywords: Laminated glass, glass beams, large deflection, strength factor, PVB

ÖZ

KOMPOZİT CAM KİRİŞLERİN DOĞRUSAL OLMAYAN DAVRANIŞLARI

Bu çalışmada sistemin tüm potansiyel enerjisinin en azlanması yolu ile, lamina cam kırışlerin eğilmesi üzerine bir matematiksel model geliştirilmiştir. Ardından bu model deney yapmak suretiyle ve sonlu elemanlar modelleri kullanılarak doğrulanmıştır. Ayrıca geliştirilen model, ortam sıcaklığı, ara katmanın kalınlığı, kırışın eni ve uzunluğu gibi çeşitli faktörlerin etkileri ile; ara katmanın geçiş derecesinin etkisini, doğrusal-olmayan davranışın etkisini incelemek için kullanılmıştır. Hem bu son amaç için hem de kırışlerin doğrusal olmayan davranışını anlamak için, iki ucu ankastre lamina cam kırışlerin doğrusal olmayan davranışını da sonlu elemanlar yöntemi ile incelenmiştir.

Anahtar sözcükler: Lamina cam, cam kırışler, büyük yer değiştirme, dayanım çarpanı,

PVB

İÇİNDEKİLER

ÖNSÖZ.....	ii
ABSTRACT	iii
ÖZ.....	iv
İÇİNDEKİLER.....	v
TABLOLARIN LİSTESİ	vii
ŞEKİLLERİN LİSTESİ	viii
SEMBOL LİSTESİ	x
BÖLÜM 1 GİRİŞ	1
1.1 Lamina Cam	1
1.1.1 Kullanım	1
1.1.2 Yapı ve ara tabakanın özellikleri	1
1.2 Ön bilgiler	3
1.3 Önceki araştırmalar	4
1.4 Çalışmanın amacı ve kapsamı	7
BÖLÜM 2 MATEMATİKSEL MODEL.....	8
2.1 GİRİŞ	8
2.2 Matematiksel model için yapılan varsayımlar	9
2.3 Toplam potasiyel enerjinin enazlanması	10

2.3.1	Doğrusal durum (basit mesnetli kırış)	10
2.3.2	Doğrusal olmayan durum (sabit mesnetli kırış).....	13
BÖLÜM 3 TKURAMSAL ÇÖZÜMLER VE SONUÇLAR.....		15
3.1	Basit mesnetli kırış için analitik çözüm.....	15
3.2	Sabit mesnetli kırışın doğrusal olmayan davranışın ANSYS ile modellenmesi..	19
3.3	Sonuçlar ve tartışma	19
3.3.1	Basit mesnetli kırış için analitik çözüm sonuçları	19
3.3.1.1	Geçiş sıcaklığı için kuramsal ve deneysel sonuçlar	19
3.3.1.2	Yumuşak ve sert PVB için geçiş aralığı.....	21
3.3.1.3	Basit mesnetli kırış için yerdeğiştirme ve dayanım çarpanı	23
3.3.1.4	Kırış uzunluğu boyunca yerdeğiştirme ve gerilme işlevleri.....	24
3.3.1.5	Kesitte gerilme dağılımı.....	27
3.3.2	Sabit mesnetli kırışlar	29
3.3.2.1	Geometri ve sıcaklık ile DÇ'nın değişimi.....	29
3.3.2.2	Kırış merkezindeki yerdeğiştirme-yük eğrileri	33
BÖLÜM 4 DENEYLER		36
4.1	PVB deneyleri.....	36
4.1.1	Çekme deneyleri.....	36
4.1.1.1	Numuneler.....	36
4.1.1.2	Deney gereçleri	38
4.1.1.3	Deneyin yapılışı	38
4.1.1.4	Sonuçlar	38
4.1.2	Kesme deneyleri	41
4.1.2.1	Örnekler	41
4.1.2.2	Deney gereçleri	41
4.1.2.3	Deney yapılışı	43
4.1.2.4	Sonuçlar	43
4.2	Kırış Deneyleri.....	45
4.2.1	Örnekler.....	45
4.2.2	Deney gereçleri.....	45
4.2.3	Deneyin yapılışı.....	47
4.2.4	Sonuçlar.....	47
BÖLÜM 5 SONUÇLAR VE ÖNERİLER.....		51
KAYNAKLAR.....		53

TABLoların LISTESİ

Tablo 3.1. Model sonuçlarıyla Edel'in deney sonuçlarının karşılaştırılması	20
Tablo 3.2. Sıcaklığa göre yumuşak ve sert PVB'nin kesme modülü.....	22
Table 4.1. Çekme deneylerinden elde edilen kesme modülleri. Sonuçlar kPa cinsindendir.....	40
Tablo 4.2. PVB numunelerinin kalınlığı ve deneyler için sıcaklık/nem şartları.....	41
Tablo 4.3.Kesme deneylerinden elde edilen kesme modülü değerleri. Değerler kPa cinsindendir.....	44
Tablo 4.4. Deneysel ve matematiksel sonuçların karşılaştırması.....	49
Tablo 4.5.Gerinme ve gerilme değerleri.	50

ŞEKİLLERİN LİSTESİ

Şekil 1.1. Lamina Cam.....	2
Şekil 2.1. Kullanılan cam kırışları.....	8
Şekil 2.2. Basit mesnetli lamina cam kırış, geometri ve yükleme.	10
Şekil 2.3. Şekil değiştirmeden önceki ve sonraki durum.	11
Şekil 3.1. Deneysel (Edel) ve kuramsal sıcaklık geçiş eğrisi.....	20
Şekil 3.2. Yumuşak PVB kullanıldığındaysa dayanım çarpanının sıcaklık ile değişimi.....	21
Şekil 3.3. Sert PVB kullanıldığındaysa dayanım çarpanının sıcaklık ile değişimi.	22
Şekil 3.4. Basit mesnetli kırış için enbüyük yerdeğiştirme-yük grafiği.	23
Şekil 3.5. Basit mesnetli kırış için DÇ'nın yük ile değişimi.	23
Şekil 3.6. Krişin yarısı boyunca -1.11° C sıcaklıkta yerdeğiştirme grafiği.	24
Şekil 3.7. Krişin yarısı boyunca -1.11° C sıcaklıkta gerilim grafiği.	25
Şekil 3.8. Krişin yarısı boyunca 21.11° C sıcaklıkta yerdeğiştirme grafiği.	25
Şekil 3.9. Krişin yarısı boyunca 21.11° C sıcaklıkta gerilme grafiği.	26
Şekil 3.10. Krişin yarısı boyunca 48.89° C sıcaklıkta yerdeğiştirme grafiği.	26
Şekil 3.11. Krişin yarısı boyunca 48.89° C sıcaklıkta gerilme grafiği.	26
Şekil 3.12. Cam kırış kesitinde gerilme dağılımı.....	28
Şekil 3.13. DÇ'nın yük ile değişimi, açıklık/kalınlık = 100.	30
Şekil 3.14. DÇ'nın 150 N'da sıcaklık ile değişimi, açıklık/kalınlık = 100.	30
Şekil 3.15. DÇ'nın yük ile değişimi, açıklık/kalınlık = 150.	32
Şekil 3.16. Enbüyük çekme gerilmesinin yük ile değişimi, açıklık/kalınlık = 150.....	32

Şekil 3.17. DÇ'nın 150 N'da sıcaklık ile değişimi, açıklık/kalınlık = 150.....	33
Şekil 3.180. Kiriş merkezindeki yerdeğiştirme-yük, açıklık/kalınlık = 300.....	35
Şekil 4.1. PVB çekme deneyi düzeneği.....	37
Şekil 4.2. PVB çekme deneyi.....	37
Şekil 4.3. Çekme altındaki PVB için tipik yük-gerinim eğrisi.....	39
Şekil 4.4. Düzeltilmiş kesit alanı A_c ve ilk kesit alanı A_o ile hesaplanan gerilmeler.....	39
Şekil 4.5. PVB Kesme Deneyi kurulumu.....	42
Şekil 4.6. Kesme kutuları.....	42
Şekil 4.7. Kesme deneyi gereci.....	43
Şekil 4.8. Kesme deneyleri için tipik kesme gerilim-gerinim eğrisi.....	44
Şekil 4.9. Basit mesnetli kiriş için 3-noktalı eğilme düzeneği.....	45
Şekil 4.10. Lamina cam eğilme deneyi düzeneği.....	46
Şekil 4.11. Whetstone Köprüsü ile HP çöklumetresi.....	46
Şekil 0.12. Model ve deneyden elde edilen merkezi yerdeğiştirme değerleri.....	48
Şekil 4.13. Deney ve modelden elde edilen enbüyük çekme gerilmesi değerleri.....	49

SEMBOL LİSTESİ

h_1, h_2	Üst ve alt camların kalınlığı
t	PVB'nin kalınlığı
b	Kiriş genişliği
h	Distance between the midpoints of the top ve bottom plies
N_1, N_2	Üst ve alt cam kirişlerdeki eksenel kuvvetler
u_1, u_2	Üst ve alt cam kirişlerde x yönündeki yerdeğiştirmeler
A_1, A_2	Üst ve alt cam kirişlerin kesit alanları
w	Düşey yönde yerdeğiştirme
L	Kirişin yarısının uzunluğu
E	Camın elastik modülü
G	PVB'nin kesme modülü
x, z	kartezyan koordinatlar
P	Kirişin ortasında uygulanan nokta yük
q	Düzgün yayılı yük
U	Toplam gerinme enerjisi

V	Uygulanan kuvvetlerden dolayı toplam potansiyel enerji
Π	Dizgedeki toplam potansiyel enerji
α, β, λ	Kesit geometrisi ve malzeme özellikleriyle ilgili parametreler
I_1, I_2	Üst ve alt kırışların kesit eylemsizlik momentleri
I	Cam kırışların toplam kesit eylemsizlik momenti
γ_{xz}, γ	PVB'nin kesme gerinmesi
τ	PVB'nin kesme gerilmesi
U_m^i	Cam kırışlerdeki zar gerinme enerjisi
U_b^i	Cam kırışlerdeki eğilme gerinme enerjisi
U_{τ_a}	Ara tabakadaki kesme gerinme enerjisi
ρ	Ara tabakanın Poisson oranı
ε_x^i	Cam kırışlerdeki eksenel gerinme
ε_b^i	Cam kırışlerdeki eğilme gerinmesi
M	Cam kırışlerdeki eğilme momenti
$\sigma_l^{üst}, \sigma_l^{alt}$	Alt cam kırışın üst ve alt yüzeylerindeki eğilme gerilmeleri
$\sigma_2^{üst}, \sigma_2^{alt}$	Üst cam kırışın üst ve alt yüzeylerindeki eğilme gerilmeleri

BÖLÜM 1

GİRİŞ

1.1 Lamina Cam

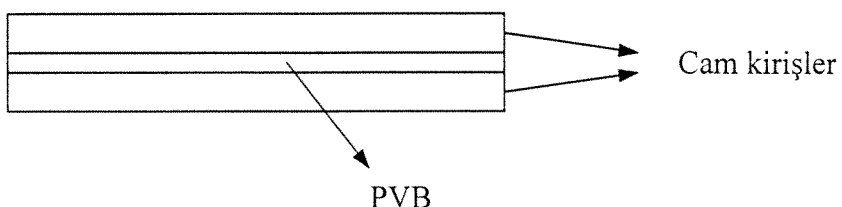
1.1.1 Kullanım

Lamina camlar, emniyet amaçlı olarak binalardaki cephe kaplamalarında kullanılırlar. Rüzgardan dolayı ya da herhangi bir nedenden dolayı kırıldıklarında ara tabaka olan Polyvinyl Butyral (PVB) parçaların etrafına saçılmasını ve insanları kesmesini öner. PVB, emniyet amacı yanında ısı ve ses yalıtımı amaçlı olarak da kullanılmaktadır. Ayrıca, lamina camlar ani kuvvetlere karşı dayanıklı olması nedeniyle avantaj sağlamaktadır. Lamina camların, yekpare camlara nazaran, üstte sayılan üstünlüklerine daha başka eklemeler yapılabılır. Örneğin aydınlık kontrolu, güneş enerjisinden yararlanma (Hooper 1993), ultraviolet ışınlarının önlenmesi (Edel 1997) lamina camlarının kullanım alanlarını ve amaçlarını genişletmektedir. Böylece lamina camlar yekpare camlarla kıyaslandığında daha tercih edilir duruma gelmektedir.

1.1.2 Yapı ve ara tabakanın özellikleri

Lamina cam, iki cam tabaka ve ara tabaka olan polimer bir malzeme PVB'den oluşmaktadır. PVB farklı plastisayızı miktarı kullanılarak farklı üreticilerce

üretilmektedir: ne kadar çok plastisayız kullanılırsa PVB o kadar yumuşak olmaktadır. Lamina camların davranışı sıcaklık değişiminden de çok etkilenmektedir. Çünkü düşük sıcaklıklarda PVB'nin kesme modülü epey yükselmektedir yüksek sıcaklıklarda ise düşmektedir.



Şekil 1.1. Lamina Cam.

PVB'nin elastik özellikleri sıcaklığın bir işlevidir ve geçiş sıcaklığı T_g 'de önemli değişiklere uğramaktadır. Polimerler geçiş sıcaklığı T_g 'nin epey altındaki sıcaklıklarda sert, eğilmeye dirençli ve camsı malzemelerdir. T_g 'nin yeterli üzerindeki sıcaklıklarda ise lastik özellikleri gösterirler.

PVB'nin geçiş sıcaklığı T_g , 49°C ile 70°C arasındadır. Bu nedenle oda sıcaklığında (25° C) sert, büükülmeye dirençli ve camsı malzeme olduğundan bu haliyle kırılgan, ani kuvvetlere karşı zayıf ve cama iyi tutamaz durumdadır. PVB'yi yumuşatmak ve daha yeterli hale getirebilmek için plastisayız eklenir. Böylece PVB ani kuvvetlere karşı dirençli olur ve cam kırışları olukça sıkı tutar. Çünkü plastisayızların geçiş sıcaklığı -150° C ile -50° C arasındadır ve PVB'ye eklendiğinde PVB'nin geçiş sıcaklığı düşer geçiş aralığını artırır. Böylece PVB'nin kesme modülü çok değiştiğinden geçiş sıcaklığı lamina camların davranışlarında çok önemli rol oynar.

1.2 Ön bilgiler

Hooper (1973), Behr vd. (1993), Edel (1997) ve Norville vd. (1998) basit mesnetli kirişler üzerine çeşitli sıcaklıklarda ve çeşitli yükler altında araştırmalar yapmışlardır. Bu dört çalışmada da lamina camların davranışının üst sınırının tabakalı camlar ve alt sınırının ise eşdeğer yekpare cam yerine toplam kalınlığı iki cam kiriş ve PVB'nin kalınlığına eşit olan gerçek yekpare cam olduğu sonucuna varılır. Norville vd. (1998) bunun nedeninin ara tabaka kalınlığı nedeniyle kesit modülünün artmasının olduğunu ileri sürmüşlerdir. Edel (1997) araştırmalarının sonucu olarak dayanım çarpanının eşdeğer yekpare cam için 0.6, gerçek yekpare cam için 0.4 olarak önermiştir. Bilindiği gibi kullanılan dayanım çarpanı 0.75 ve PVB üreticileri 1.0 olmasını öneriyorlar.

Üstteki çalışmalar ve bu çalışma sonucu basit mesnetli kirişlerin doğrusal davranış gösterdiği sonucuna varılmıştır. Tabakalı camda oluşan gerilmeler yekpare camda oluşan gerilmelerin iki katıdır. Dayanım çarpanı sabit ve sıcaklık geçiş eğrisi yüze bağlı olarak değişmemektedir.

Fakat Vallabhan vd. (1987), Behr vd. (1993) ve Van Duser vd. (1999) doğrusal olmayan davranış gösteren lamina plaklarda durumun oldukça farklı olduğunu göstermişlerdir. Çünkü büyük yerdeğiştirmeler altında cam plaklar doğrusal olmayan davranış göstermekte, yüksek zar gerilimleri oluşturmaktadır. Vallabhan vd. (1987), çalışma şartlarında, tabakalı camlarda oluşan gerilmelerin eşdeğer yekpare camlarda oluşan gerilmelere eşit ya da bu gerilmelerden küçük olabileceğini göstermiştir. Bunun nedeni, Behr vd. (1993) tarafından, aynı yük altında, tabakalı camların zar gerilmeleri etkisine, eşdeğer yekpare camlara göre daha çabuk girmesi olarak verilmektedir. Norville vd. (1998) ise lamina camlardaki kesit modülünün artmasına dik-

kat çekmişlerdir. Sıfır ve 50 derece sıcaklıklardaki gerilmeler arasındaki fark doğrusal durumdan belirgin olarak daha düşüktür (Van Duser vd. 1999). Edel (1997) tarafından incelenen dayanım çarpanı ve sıcaklık geçiş eğrisi, doğrusal olmayan durumda, yükle bağlı olarak değişmektedir. Basit mesnetli lamina plakların doğrusal olmayan davranışları nedeniyle yüksek doğrusal olmama seviyelerine ulaşıldığında dayanım çarpanı 1.0'a yaklaşmakta ve hatta 1.0 değerini aşmaktadır.

1.3 Önceki araştırmalar

İlk defa Hooper (1973) lamina cam kırışları incelemek için matematiksel model geliştirdi ve deyler yaptı. Deneylerde (ağırlık olarak yüzde 21 plastisayız içeren) sert ve (ağırlık olarak yüzde 41 plastisayız içeren) yumuşak PVB ara katmanı olan lamina cam kırışları kullandı. Deneylerinde hem kısa (<3 dakika) hem de uzun (80 gün) süreli yükler uyguladı. Aynı zamanda sert ve yumuşak ara tabakasının kesme modülünün sıcaklık ile değişimini ortaya koydu. Kısa süreleri yükleme deneylerinden elde ettiği sonuçlar ile matematiksel modelden elde ettiği sonuçlar arasında yüzde 2 fark vardı. Sünme deneylerinin sonucu olarak yumuşak aratabakanın kesme modülünde 10 ile 20° C derece arasında düşmeler olurken sert aratabakanın kesme modülünde 30 ile 40° C derece arasında düşmeler olduğunu gördü ve PVB'nin plastisayız içeriğinin miktarının önemine dikkat çekti. Dayanım çarpanı çözümlemesi yapıldığında plastisayız içereğinin önemi ortaya çıkmaktadır. Uzun süreli yükler altında sünme deneyleri, sünmeden dolayı şekil değiştirmelerin olduğunu ve sıcaklığına göre yumuşak ve sert aratabakada davranışın farklı ortaya çıktığını izledi.

Vallabhan vd. (1987) dayanım çarpanı için çeşitli düzgün yayılı yük ve cam plak geometrilerini göz önüne alarak yekpare ve tabakalı camlar için çözümleme yaptılar. Çözümleme için von Karman plak kuramını kullanarak doğrusal olmayan

türevsel denklemler geliştirdiler ve bu denklemleri çözmek için sonlu farklar yöntemi kullanılar. Çalışmaları sonucunda bazı plak boyutları için dayanım çarpanının 1 değerini aşabileceğini ortaya çıkardılar. Dayanım çarpanının tanımı göz önüne alınırsa (yekpare camdaki en büyük gerilimin tabakalı camdaki en büyük gerilime oranı) tabakalı camların aynı yük altında daha az gerilmelere maruz kaldığı yani yekpare cama göre daha dayanıklı olduğu anlaşılır.

Behr vd. (1985), lamina, tabakalı ve yekpare camlar üzerine deneyler yaptılar. Deneyler sonucunda lamina camlarının davranışlarının oda sıcaklıklarında yekpare caminkine yüksek sıcaklıklarda ise tabakalı caminki yaklaşlığını gördüler. Böylece lamina camın davranışının sınırlarının, toplam olarak aynı kalınlıkta, tabakalı camlar ve yekpare camlar olduğu sonucu vardılar. Aynı zamanda geometric olarak doğrusal olmayan denklemlerin sonlu farklar çözüm sonuçlarının deney sonuçlarıyla oldukça iyi örtüşüğünü gördüler. Doğrusal olmayan davranış göz önüne alındığında tabakalı camdaki en büyük gerilimin yekpare camdaki en büyük gerileme oranının 1.5 olduğunu gösterdiler. Bilindiği gibi bu oran doğrusal davranış göz önüne alındığında 2'dir.

Behr vd. (1993) deneylerine devam ettiler ve bu deneyler sonucunda lamina camlar için dayanım çarpanının 1 alınabileceğine karar verdiler. Dayanım çarpanının 1 olabileceği daha sonra Minor ve Reznik (1990), Kanabolo ve Norville (1985), Linden vd. (1984), Reznik ve Minor (1986) tarafından yapılan deneylerle de desteklendi. Deneylerde kullanılan lamina camlardaki aratabaka PVB'nin içeriği azdı ve aratabaka sertti. Kesme modülündeki düşme 49° C dereceden sonra başladığı için geçiş sıcaklığı 49° C derecenin üzerindeydi. Deneylerden lamina camların davranışının

yüksek sıcaklıklarda tabakalı camlara yaklaştığı düşük sıcaklıklarda ise yekpare camlara yaklaştığı sonucu gelişti.

Vallabhan vd. (1993) değişim ilkelerine dayanarak lamina camların çözümlemesi için oldukça etkin bir matematiksel model geliştirdiler. Modelde lamina camların davranışları beş doğrusal olmayan türevsel denklemle temsil edildi. Bu denklemler sonlu elemanlar yöntemi kullanılarak çözüldü ve sonuçlar Texas Tech üniversitesinin İnşaat Mühendisliği Bölümü'ndeki Cam Araştırma Laboratuvarı'nda yapılan deneylerle doğrulandı.

Edel (1997) lamina camların geçiş sıcaklığı ve dayanım çarpanı üzerine çalışmalar yaptı. Bu çalışmalarda 3-noktalı eğilme deneyleri gerçekleştirdi ve sonuçları sonlu elemanlar yöntemi ile karşılaştırdı. Çalışmaların sonucunda sıcaklığa ve yükle bağlı dayanım çarpanı grafikleri oluşturdu. Dayanım çarpanını gerçek yekpare cam (lamina camdaki iki cam tabaka kalınlığı+aratabaka kalılığında yekpare cam) için 0.4, eşdeğer yekpare cam (lamina camdaki iki cam tabakanın kalınlığında yekpare cam) için 0.6 olarak önerdi.

Norville vd. (1998) lamina cam kırışerin çözümlemesi için mekanik bir model geliştirdiler. Modeli doğrulamak için model sonuçlarını Behr vd. (1993) yaptığı deneylerin somuçlarıyla karşılaştırdılar.

Van Duser vd. (1999) lamina cam plaklar üzerine çalışma geliştirdiler. Aratabakayı viskoelastik malzeme olarak modellediler. Çalışmalarında sonlu elamanlar yöntemi kullandılar. Ayrıca cam kırılmalarıyla ilgili olarak Weibull etkin gerilimine dayanan istatistiksel model de geliştirdiler. Bu model Weibull etkin gerilimin – çökme olasılığının istatistiksel ölçüsü- lamina camlarda yekpare camlara göre daha

düşük olduğunu gösterdi. Sonuç olarak yazarlar lamina camların yekpare camlardan daha dayanıklı olabileceğini vurguladılar.

1.4 Çalışmanın amacı ve kapsamı

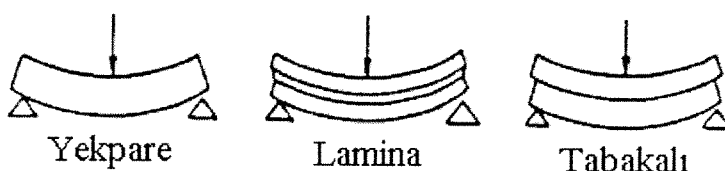
Bu çalışmanın amacı kamina cam kırışlerin davranışı üzerine çözümlemeler yapmaktr. Bu amaçla, değişim ilkeleri kullanılarak basit mesnetli kırışler için denklemeler türetilmiş, sonuçlar yapılan deney sonuçlarıyla karşılaştırılmış, aratabaka PVB'nin geçiş sıcaklığının etkisi araştırılmış, sabit mesnetli kırışlerin doğrusal olmayan davranışları incelenmiştir. Geliştirilen matematiksel model kullanılarak sıcaklık, aratabaka kalılığının, kırış boyutlarının etkisi, mekanik davranışı araştırılmıştır.

BÖLÜM 2

MATEMATİKSEL MODEL

2.1 GİRİŞ

Şekil 2.1'de literatürde ismi geçen cam kırışları görülmektedir: yekpare, lamina ve tabakalı (ya da katmanlı). Yekpare cam kırış tamamen camdır ve yekparedir. Kalınlığı lamina camdaki iki cam kırışının toplam kalınlığına eşittir. Lamina cam kırış iki cam kırış ve PVB olarak bilinen bir aratabakadan oluşmaktadır. Aratabaka iki cam kırışı birbirine bağlar ve cam kırıldığında parçaların etrafa saçılmasını ve insanlara zarar vermesini önerler. Bağın mükemmel olduğu varsayıılır.



Şekil 2.1. Kullanılan cam kırışları

Şekilde görülen kırışlar basit mesnetlidir. Bu çalışmada doğrusal olmayan davranışını görmek için sabit mesnetli kırışlar de incelenmiştir.

2.2 Matematiksel model için yapılan varsayımlar

1. Kırış dizgesindeki her parça homojen ve izotropiktir.
2. Kullanılan malzemeler elastik ve Hooke kanunu geçerlidir.
3. Kırışteki kesme şekil değiştirmeleri kırışın kalınlığı çok küçük olduğundan ihmal edilir.
4. Şekil değiştirmeden önce kırışın orta düzlemine dik olan doğrular şekil değiştirdikten sonra da orta düzleme dik kalırlar.
5. Doğrusal olmayan durum için eksenel yerdeğiştirmelerin türevleri çok küçüktür ve bunların üslü olanları ihmal edilir.

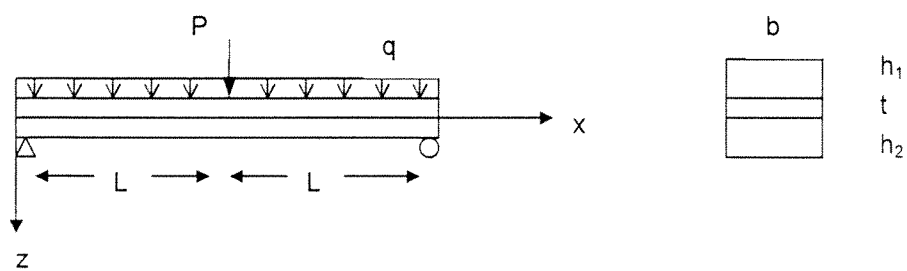
Aratabaka PVB için aşağıdaki varsayımlar kabul edilir:

1. Şekil değiştirmeden önceki düzlem kesitler şekil değiştirmeden sonra da düzlem kalır.
2. Malzeme homojen ve izotropiktir.
3. Malzeme elastik ve Hooke's kanunu geçerlidir. Aratabaka kesme modülü sabittir.
4. Cam iç yüzeyleri ile aratabaka mükemmel bağlıdır, kayma yoktur.
5. Aratabakada kesme gerinmesi enerjisi belirgindir, diğer enerjiler ihmal edilir.
6. Kesme gerinmeleri sonsuz küçüklüktedir.
7. Kırışe dik, yüke koşut yönde bir sıkışma yoktur, göreceli yerdeğiştirme sıfırdır.

2.3 Toplam potasiyel enerjinin enazlanması

2.3.1 Doğrusal durum (basit mesnetli kırış)

Şekil 2.2'de verilen, genişliği b , uzunluğu L olan ve kalınlıkları h_1, h_2 iki cam tabaka ile kalınlığı t olan aratabaka PVB'den oluşan ve noktasal ve/veya yayılı yüklerle maruz kalan lamina cam kırışın potansiyel enerjisi değişim ilkeleri kullanılarak enazlanacaktır. Toplam potansiyel enerji işlevini yazmak için cam tabakalarındaki eğilme ve zar gerinme enerjileri, aratabakadaki kesme gerinmesi enerjisi ve kuvvet potansiyel enerjileri göz önüne alınır.



Şekil 2.2. Basit mesnetli lamina cam kırış, geometri ve yükleme.

Böylece lamina camdaki toplam potansiyel enerji aşağıdaki gibi yazılır:

$$\Pi = U + V \quad (2.1)$$

$$\Pi = \sum_i (U_m^i + U_b^i) + U_{\tau_{xz}} + V \quad (2.2)$$

$$\Pi = \sum_{i=1}^2 \left\{ \int_V \frac{1}{2} E(\varepsilon_x^i)^2 dV + \int_V \frac{1}{2} E(\varepsilon_b^i)^2 dV \right\} + \int_V \frac{1}{2} G(\gamma_{xz})^2 dV - \int_L q dx - \frac{P}{2} w_L \quad (2.3)$$

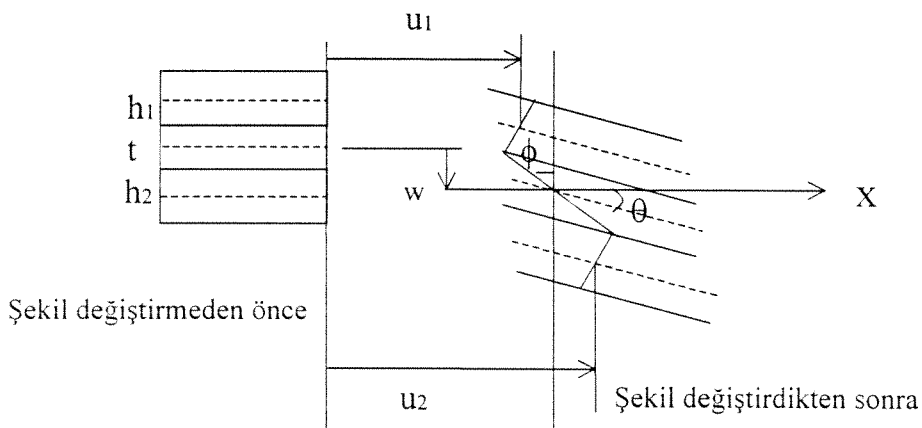
bu denklemlerde i cam tabaka sayısını, ilk terim camdaki eksenel gerinim enerjisi, ikinci terim camdaki eğilme gerinim enerjisi, üçüncü terim aratabakadaki kesme

gerinim enerjisi ve son iki terim ise uygulanan kuvvetlerden dolayı kuvvet potansiyel enerjisidir. Gerinmeler ise aşağıdaki gibidir:

$$\varepsilon_x^i = \frac{du_i}{dx} \quad (2.4)$$

$$\varepsilon_b = -z \frac{d^2 w}{dx^2} \quad (2.5)$$

$$\gamma_{xz} = \phi_x + \theta_x = \frac{u_1 - u_2 - \frac{dw}{dx} \left(t + \frac{h_1 + h_2}{2} \right)}{t} \quad (2.6)$$



Şekil 2.3. Şekil değiştirmeden önceki ve sonraki durum.

Değişim ilkeleri yöntemi ile toplam potansiyel enerjinin w , u_1 ve u_2 'ye göre değişimi alınarak sıfıra eşitlenir:

$$\delta\Pi[w]=0$$

$$\delta\Pi[u_1]=0$$

$$\delta\Pi[u_2]=0 \quad (2.7)$$

ve aşağıdaki üç türevsel denklem elde edilir:

$$EI \frac{d^4 w}{dx^4} - \left(t + \frac{h_1 + h_2}{2} \right) \frac{d}{dx} \left\{ \frac{Gb}{t} \left[u_1 - u_2 - \left(t + \frac{h_1 + h_2}{2} \right) \frac{dw}{dx} \right] \right\} = q \quad (2.8)$$

$$\frac{dN_1}{dx} = \frac{Gb}{t} \left[u_1 - u_2 - \frac{dw}{dx} \left(t + \frac{h_1 + h_2}{2} \right) \right] \quad (2.9)$$

$$\frac{dN_2}{dx} = -\frac{Gb}{t} \left[u_1 - u_2 - \frac{dw}{dx} \left(t + \frac{h_1 + h_2}{2} \right) \right] \quad (2.10)$$

burada w yanal yerdeğiştirme, u_1 ve u_2 üst ve alt camlardaki eksenel yerdeğiştirimeler, E camın elastik modülü, G aratabaka PVB'nin kesme modülü ve I iki cam tabakanın eylemsizlik momentlerinin toplamıdır. Üst ve alt cam tabakalarındaki eksenel kuvvetler N_1 ve N_2 :

$$N_1 = EA_1 \frac{du_1}{dx} \quad (2.11)$$

$$N_2 = EA_2 \frac{du_2}{dx} \quad (2.12)$$

Sınır şartları:

$$@ x = 0 \text{ (sol mesnet)} \quad w = 0 \quad \text{ve} \quad \frac{d^2 w}{dx^2} = 0$$

$$N_1 = 0 \quad \text{ve} \quad N_2 = 0$$

$$@ x = L \text{ (orta nokta)} \quad \frac{dw}{dx} = 0 \quad \text{ve} \quad \frac{d^3 w}{dx^3} = -\frac{P}{2EI}$$

$$\frac{dN_1}{dx} = 0 \quad \text{ve} \quad \frac{dN_2}{dx} = 0 \quad (2.13)$$

Denklemler 2.8, 2.9 ve 2.10 analitik olarak çözülecektir.

2.3.2 Doğrusal olmayan durum (sabit mesnetli kiriş)

Doğrusal olmayan durum için gerinme-yerdeğiştirme ilişkisi büyük yerdeğ-
iştirmeler için aşağıdaki gibidir:

$$\varepsilon'_x = \frac{du_i}{dx} + \frac{1}{2} \left(\frac{dw}{dx} \right)^2 \quad (2.14)$$

Toplam potansiyel enerjinin w , u_1 ve u_2 yerdeğiştirmelerine göre değişimi alınıp
aşağıdaki gibi sıfıra eşitlenir.

$$\delta\Pi[w]=0$$

$$\delta\Pi[u_1]=0$$

$$\delta\Pi[u_2]=0$$

ve böylece aşağıdaki türevsel denklemler elde edilir:

$$\begin{aligned} EI \frac{d^4 w}{dx^4} - \left(t + \frac{h_1 + h_2}{2} \right) \frac{d}{dx} \left\{ \frac{Gb}{t} \left[u_1 - u_2 - \left(t + \frac{h_1 + h_2}{2} \right) \frac{dw}{dx} \right] \right\} &= q + (N_1 + N_2) \frac{d^2 w}{dx^2} \\ \frac{dN_1}{dx} &= \frac{Gb}{t} \left[u_1 - u_2 - \frac{dw}{dx} \left(t + \frac{h_1 + h_2}{2} \right) \right] \\ \frac{dN_2}{dx} &= -\frac{Gb}{t} \left[u_1 - u_2 - \frac{dw}{dx} \left(t + \frac{h_1 + h_2}{2} \right) \right] \end{aligned} \quad (2.15)$$

burada N_1 ve N_2 :

$$N_1 = EA_1 \left[\frac{du_1}{dx} + \frac{1}{2} \left(\frac{dw}{dx} \right)^2 \right] \quad (2.16)$$

$$N_2 = EA_2 \left[\frac{du_2}{dx} + \frac{1}{2} \left(\frac{dw}{dx} \right)^2 \right] \quad (2.17)$$

Sınır şartları:

$$@ \quad x = 0 \quad (\text{sol mesnet}) \quad w = 0 \quad \text{ve} \quad \frac{dw}{dx} = 0$$

$$u_1 = 0 \quad \text{ve} \quad u_2 = 0$$

$$@ \quad x = L \quad (\text{orta nokta}) \quad \frac{dw}{dx} = 0 \quad \text{ve} \quad \frac{d^3w}{dx^3} = -\frac{P}{2EI}$$

$$u_1 = 0 \quad \text{ve} \quad u_2 = 0 \quad (2.18)$$

Denklemler 2.15 doğrusal değildir ve analitik olarak çözmek oldukça zordur. Bu nedenle sayısal çözüm yöntemi kullanılacaktır.

BÖLÜM 3

KURAMSAL ÇÖZÜMLER VE SONUÇLAR

3.1 Basit mesnetli kiriş için analitik çözüm

Türevsel denklemler 2.8, 2.9 ve 2.10 aşağıdaki biçimde yazılır:

$$EI \frac{d^4 w}{dx^4} + h \frac{d}{dx}(Gb\gamma) = q \quad (3.1)$$

$$\frac{dN_1}{dx} = Gb\gamma \quad (3.2)$$

$$\frac{dN_2}{dx} = -Gb\gamma \quad (3.3)$$

burada $h = t + \frac{h_1 + h_2}{2}$ ve $\gamma = \gamma_{xz} = \phi_x + \theta_x = \frac{u_1 - u_2 - \frac{dw}{dx} \left(t + \frac{h_1 + h_2}{2} \right)}{t}$

Sınır şartları daha önce belirtildiği gibi,

$$@ x = 0 \text{ (sol mesnet)} \quad w = 0 \quad \text{ve} \quad \frac{d^2 w}{dx^2} = 0$$

$$N_1 = 0 \quad \text{ve} \quad N_2 = 0$$

$$@ x = L \text{ (orta nokta)} \quad \frac{dw}{dx} = 0 \quad \text{ve} \quad \frac{d^3 w}{dx^3} = -\frac{P}{2EI}$$

$$\frac{dN_1}{dx} = 0 \quad \text{ve} \quad \frac{dN_2}{dx} = 0$$

Toplam kesitsel kuvvet sabittir:

$$\frac{dN_1}{dx} + \frac{dN_2}{dx} = 0 \quad \text{böylece} \quad N_1 + N_2 = \text{sabit}$$

$$N_1 + N_2 = \text{sabit} = N_1(0) + N_2(0) = 0$$

$$N_1 = -N_2$$

Denklem (3.2)'yi denklem (3.1)'e yerleştirirsek aşağıdaki denklemleri elde ederiz,

$$\begin{aligned} EI \frac{d^4 w}{dx^4} + h \frac{d}{dx} \left(\frac{dN_1}{dx} \right) &= q \quad \text{veya} \\ EI \frac{d^4 w}{dx^4} + h \frac{d^2 N_1}{dx^2} &= q \end{aligned} \tag{3.4}$$

Aşağıdaki denklemi elde etmek için denklem (3.2)'nin ($\frac{dN_1}{dx} = \frac{Gb}{t} \left[u_1 - u_2 - h \frac{dw}{dx} \right]$)

türevi alınır.

$$\frac{d^2 N_1}{dx^2} = \frac{Gb}{t} \left[\frac{du_1}{dx} - \frac{du_2}{dx} - h \frac{d^2 w}{dx^2} \right] \tag{3.5}$$

Denklem (2.11) ($N_1 = EA_1 \frac{du_1}{dx}$) ve (2.12)'yi ($N_2 = EA_2 \frac{du_2}{dx}$) kullanarak aşağıdaki denklem elde edilir:

$$\frac{du_1}{dx} - \frac{du_2}{dx} = \frac{N_1}{EA_1} - \frac{N_2}{EA_2} = \frac{N_1}{EA_1} + \frac{N_1}{EA_2} = \frac{N_1}{E} \left(\frac{1}{A_1} + \frac{1}{A_2} \right) \tag{3.6}$$

Denklemeler (3.6) ve (3.5) kullanılarak denklem 3.7 elde edilir.

$$\frac{d^2 N_1}{dx^2} = \frac{Gb}{t} \left[\frac{A_1 + A_2}{EA_1 A_2} N_1 - h \frac{d^2 w}{dx^2} \right] \quad (3.7)$$

Denklem 3.7'yi tekrar düzenleyerek ve iki kere türevini alarak (3.8) ve (3.9) elde edilir:

$$\frac{d^2 w}{dx^2} = \frac{1}{h} \frac{A_1 + A_2}{EA_1 A_2} N_1 - \frac{1}{h} \frac{t}{Gb} \frac{d^2 N_1}{dx^2} \quad (3.8)$$

$$\frac{d^4 w}{dx^4} = \frac{1}{h} \frac{A_1 + A_2}{EA_1 A_2} \frac{d^2 N_1}{dx^2} - \frac{1}{h} \frac{t}{Gb} \frac{d^4 N_1}{dx^4} \quad (3.9)$$

Denklemeler (3.9) ve (3.4) kullanılarak aşağıdaki 4. derece türevsel denkleme erişilir,

$$\frac{d^4 N_1}{dx^4} - \left[\frac{Gb}{Et} \left(\frac{A_1 + A_2}{A_1 A_2} + \frac{h^2}{I} \right) \right] \frac{d^2 N_1}{dx^2} = -\frac{Gb}{Et} \frac{h}{I} q$$

ve kısaca aşağıdaki gibi yazılır:

$$\frac{d^4 N_1}{dx^4} - \lambda^2 \frac{d^2 N_1}{dx^2} = -\beta q \quad (3.10)$$

burada

$$\lambda^2 = \frac{Gb}{Et} \left(\frac{A_1 + A_2}{A_1 A_2} + \frac{h^2}{I} \right) \quad \beta = \frac{Gb}{Et} \frac{h}{I}.$$

Sınır şartları denklem (3.10)'a uygun olarak yeniden yazılır:

$$\begin{aligned} @ x=0 \text{ (sol mesnet)} & N_1 = 0 \quad \text{ve} \quad \frac{d^2 N_1}{dx^2} = 0 \\ @ x=L \text{ (kiriş orta noktası)} & \frac{dN_1}{dx} = 0 \quad \text{ve} \quad \frac{d^3 N_1}{dx^3} = \beta \frac{P}{2} \end{aligned} \quad (3.11)$$

Bu sınır değer probleminin çözümü aşağıdaki gibi verilir:

$$N_1 = \frac{\beta}{\lambda^4} q - \frac{\beta}{\lambda^2} \left(qL + \frac{P}{2} \right) x + \frac{\beta}{\lambda^2} \frac{q}{2} x^2 - \frac{\beta}{\lambda^4} q \frac{\cosh \lambda(x-L)}{\cosh \lambda L} + \frac{\beta}{\lambda^3} \frac{P}{2} \frac{\sinh \lambda x}{\cosh \lambda L} \quad (3.12)$$

Burada $N_2 = -N_1$ dir ve eğilme momenti aşağıdaki gibi elde edilir,

$$M = EI \frac{d^2 w}{dx^2} = \frac{EI}{h} \frac{A_1 + A_2}{EA_1 A_2} N_1 - \frac{EI}{h} \frac{t}{Gb} \frac{d^2 N_1}{dx^2}$$

$$M = \frac{A_1 + A_2}{A_1 A_2} \frac{I}{h} N_1 - \frac{Et}{Gb} \frac{I}{h} \frac{d^2 N_1}{dx^2}$$

Basitleştirmek için $\frac{1}{\alpha} = \frac{A_1 + A_2}{A_1 A_2} \frac{I}{h}$ ve $\frac{Et}{Gb} \frac{I}{h} = \frac{1}{\beta}$ tanımlamaları yapılır ve

aşağıdaki denkleme ulaşılır:

$$M = \frac{1}{\alpha} N_1 - \frac{1}{\beta} \frac{d^2 N_1}{dx^2} = \frac{d^2 w}{dx^2} \quad (3.13)$$

Denklem (3.13)'ün iki defa tümlevi alınır ve sınır şartları kullanılarak yanal yerdeğ-iştirme aşağıda verildiği gibi tümlev biçiminde elde edilir:

$$w(x) = \frac{1}{EI} \left[-\frac{1}{\alpha} \int_0^x \int_0^L N_1(s) ds dt - \frac{1}{\beta} N_1 \right] \quad (3.14)$$

Camların yüzeylerindeki gerilmeler ise aşağıdaki şekilde açıklanır:

$$\sigma_1^{\text{üst}} = \frac{M}{I} \frac{h_1}{2} + \frac{N_1}{A_1} \quad (3.15)$$

$$\sigma_1^{\text{alt}} = -\frac{M}{I} \frac{h_1}{2} + \frac{N_1}{A_1} \quad (3.16)$$

$$\sigma_2^{\text{üst}} = \frac{M}{I} \frac{h_2}{2} + \frac{N_2}{A_2} \quad (3.17)$$

$$\sigma_2^{\text{alt}} = -\frac{M}{I} \frac{h_2}{2} + \frac{N_2}{A_2} \quad (3.18)$$

3.2 Sabit mesnetli kırışın doğrusal olmayan davranışının ANSYS ile modellenmesi

Sabit mesnetli kırış için türetilen denklemler (2.15) doğrusal değildir. Bu nedenle basit mesnetli kırışın davranışını çözebilmek için sayısal yöntem kullanılması gereklidir. Denklem takımı (2.15) sonlu farklar yöntemiyle çözülür ya da sonlu elementler yöntemi kullanılır. Çok bilinen sonlu elemanlar yöntemini uygulamak için hazır sonlu elemanlar programı ANSYS kullanılmıştır. 4 düğümlü düzlemsel gerilme elemanı doğru sonuçlar elde etmek için yeterli olmuştur. Çözüm için 0.5, 0.75, 1 ve 1.5 metre uzunlukta, 50 mm genişlikte ve 2.12+0.76+2.12 (üst camın kalınlığı+aratabaka kalınlığı+alt camın kalınlığı) kalınlıkta lamine cam kırışları seçilmiştir. Karşılaştırma amaçlı olarak tabakalı ve yekpare cam kırışları için de çözüm yapılmıştır. Statik durumda doğrusal olmayan çözümleme için ANSYS programının büyük yerdeğiştirme seçeneği kullanılmıştır.

3.3 Sonuçlar ve tartışma

3.3.1 Basit mesnetli kırış için analitik çözüm sonuçları

3.3.1.1 Geçiş sıcaklığı için kuramsal ve deneysel sonuçlar

Edel (1997) lamine cam kırışları kullanarak 1997 yılında 3-noktalı eğilme deneyleri yaptı. Deneylerde kullandığı örnekler 0.6096 m uzunluğunda, 0.1524 m genişliğindedeydi. Camların kalınlığı 3.2004 mm aratabakanın kalınlığı 1.524 mm,

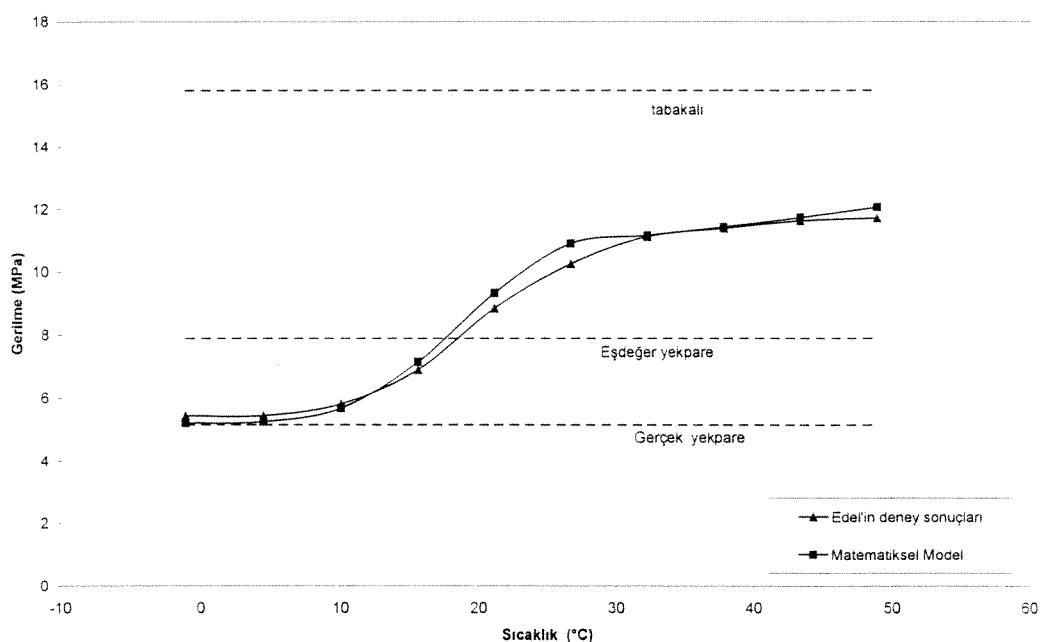
camın elastik modülü 64.5 GPa ve kırışın ortasından uygulanan noktasal yük ise 92.56 N idi. Gerilme ölçümleri kirişin orta noktasının 0.1016 mm solundan alındı.

Bu çalışmada geliştirilen modelin yeterliliğini anlamak için modelden elde edilen sonuçlar Edel'in deney sonuçlarıyla Tablo 3.1 ve Şekil 3.1'de karşılaştırıldı.

Tablo 3.1. Model sonuçlarıyla Edel'in deney sonuçlarının karşılaştırılması

T (°C)	G (MPa)	Edel'in Deney Sonuçları (MPa)	Matematiksel Model (MPa)	Hata %
-1.11	45.00	5.45	5.21	-4.33
4.44	25.00	5.45	5.26	-3.52
10.00	8.00	5.82	5.69	-2.28
15.56	2.50	6.90	7.15	3.60
21.11	1.00	8.85	9.32	5.32
26.67	0.57	10.25	10.89	6.27
32.22	0.52	11.11	11.15	0.32
37.78	0.47	11.38	11.42	0.40
43.33	0.42	11.62	11.72	0.90
48.89	0.37	11.70	12.05	2.97

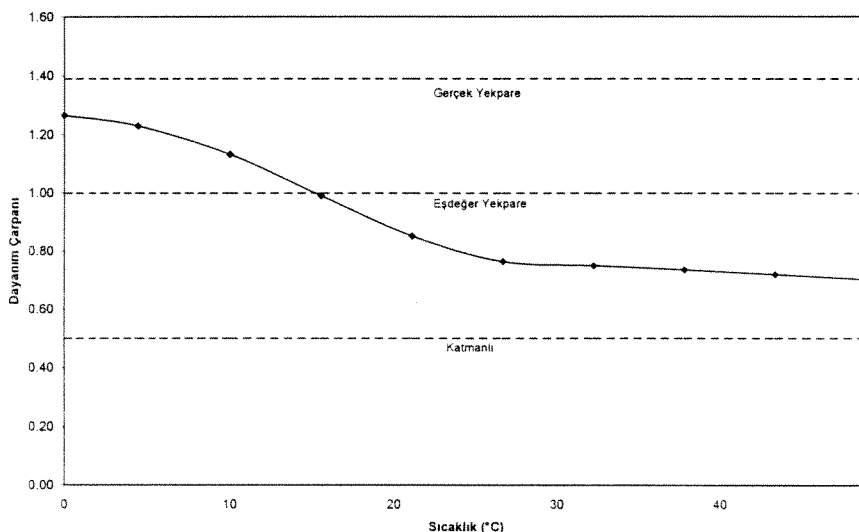
Üstteki tablodan ve alttaki grafikten görüldüğü gibi basit mesnetli kiriş için geliştirilen matematiksel model ve analitik çözüm oldukça iyi sonuçlar vermektedir. Böylece matematiksel model doğrulanmış olmaktadır.



Şekil 3.1. Deneysel (Edel) ve kuramsal sıcaklık geçiş eğrisi.

3.3.1.2 Yumuşak ve sert PVB için geçiş aralığı

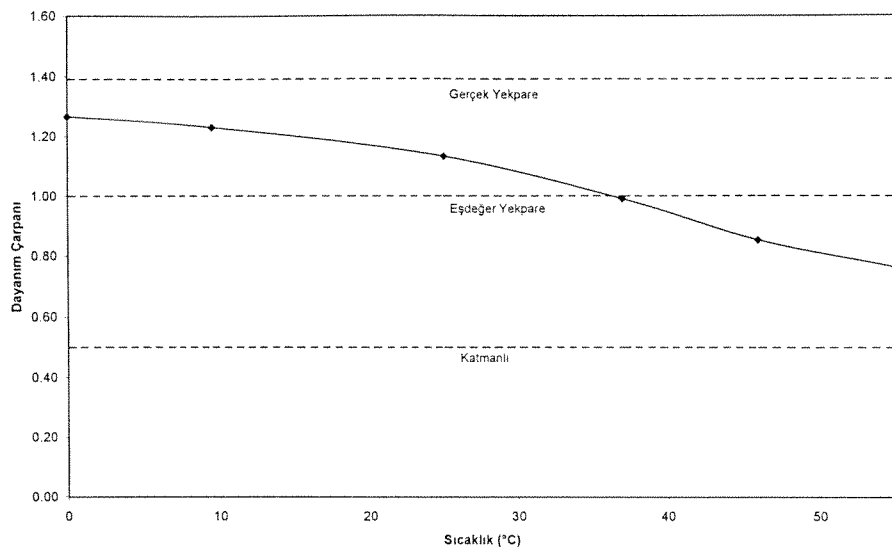
Yumuşak ve sert aratabakaya sahip kirişler için dayanım çarpanının sıcaklığa göre değişimi şekil 3.2 ve 3.3'de verilmiştir. Bu grafiklerin çiziminde ve diğer bölümlerde kullanılan veriler şöyledir: kiriş uzunluğu 0.5 m, genişliği 5 cm, kalınlığı 2.12+0.76+2.12 mm ve ortada uygulanan nokta yük 50 N'dır. Camın elastik modülü 64.5 GPa ve PVB'nin kesme modülü Tablo 3.2'de çeşitli sıcaklıklarda yumuşak ve sert PVB için verilmiştir.



Şekil 3.2. Yumuşak PVB kullanıldığında dayanım çarpanının sıcaklık ile değişimi.

Şekil 3.2'de görüldüğü gibi yumuşak PVB kullanıldığında dayanım çarpanı 1.27 ile 0.70 arasında değişmektedir. Yumuşak PVB kullanıldığında lamina cam için sıcaklık geçisi 10 ile 25° C arasındadır.

Sert PVB (Şekil 3.3) kullanıldığında ise farklılık gözlenmektedir. Orneğin 37°C'de dayanım çarpanı (DC) hala 1.0'dır. 46° C'de 0.85, 55° C'de ise 0.76'ya düşmektedir.



Şekil 3.3. Sert PVB kullanıldığında dayanım çarpanının sıcaklık ile değişimi.

Bunun anlamı sıcaklık geçişinin 46° C'den sonra başlamasıdır.

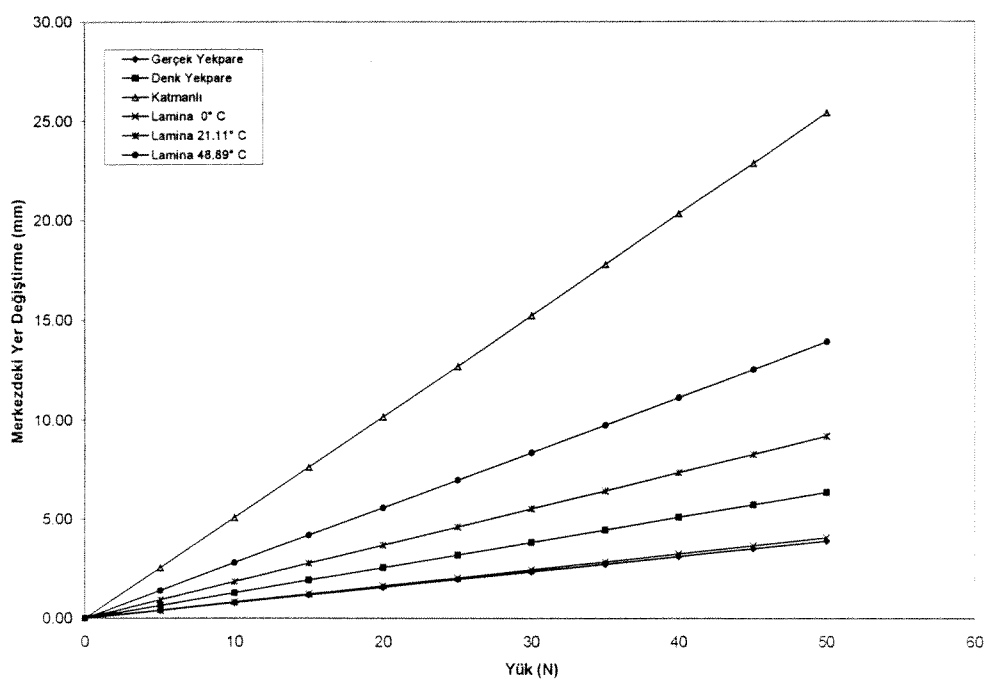
Yumuşak ve sert PVB için kesme modülü Tablo 3.2'de çeşitli sıcaklıklar için verilmiştir (Hooper 1973). Yumuşak ve sert PVB ayrimı için plastisayızır içeriği önemli olduğundan lamina kirişlerin DÇ'nın belirlenmesinde de PVB'nin plastisayızır içeriği önemlidir.

Tablo 3.2. Sıcaklığa göre yumuşak ve sert PVB'nin kesme modülü.

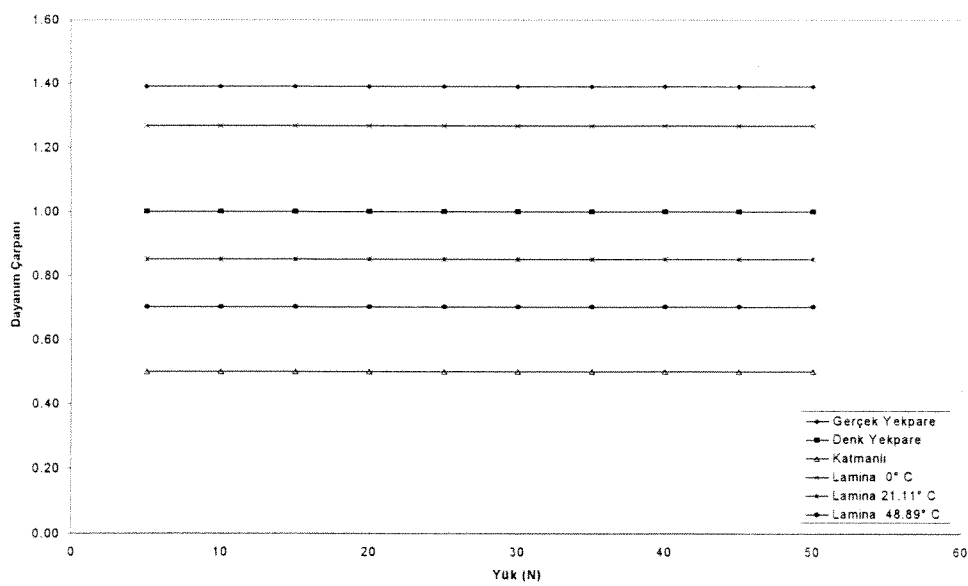
G (MPa)	Yumuşak T (°C)	Sert T (°C)
45.00	0.00	0.50
25.00	4.44	9.50
8.000	10.00	25.00
2.500	15.56	37.00
1.000	21.11	46.00
0.568	26.67	55.00

3.3.1.3 Basit mesnetli kiriş için yerdeğiştirme ve dayanım çarpanı

Şekil 3.4'te görüldüğü üzere yerdeğiştirme-yük ilişkisi doğrusaldır. Şekil 3.5'te verilen DÇ-yük ilişkisi sabittir ve geçiş bölgesi yoktur.



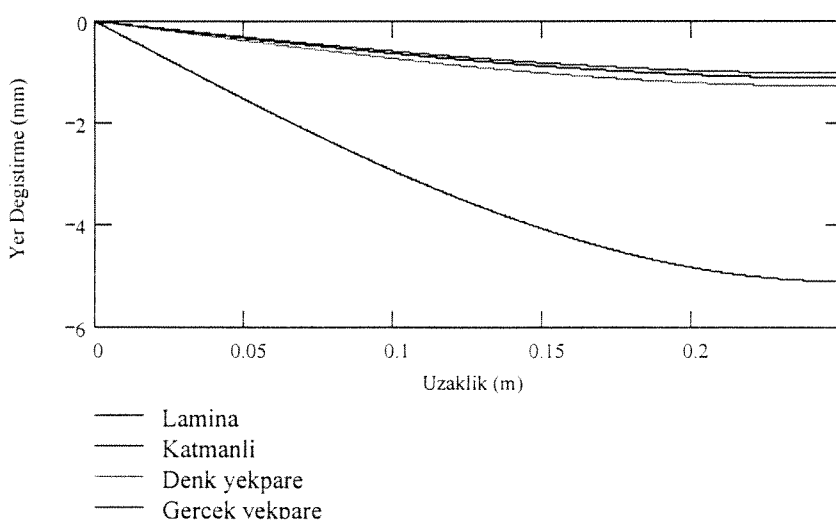
Şekil 3.4. Basit mesnetli kiriş için enbüyük yerdeğiştirme-yük grafiği.



Şekil 3.5. Basit mesnetli kiriş için DÇ'nın yük ile değişimi.

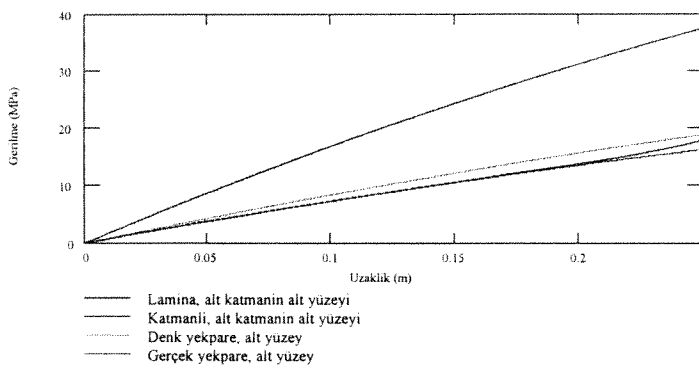
3.3.1.4 Kırış uzunluğu boyunca yerdeğiştirme ve gerilme işlevleri

Şekiller 3.6, 3.7, 3.8, 3.9, 3.10 ve 3.11 lamina camın sıcaklık ile nasıl davranışlığı görmek için tabakalı, eşdeğer(denk) yekpare ve gerçek yekpare cam davranışları ile birlikte -1.11°C , 21.11°C ve 48.89°C için çizilmiştir. Bu grafiklerin elde edilmesi için daha önce verilen noktasal yüze ek olarak $200 \text{ N/m}'\text{lik düzgün yayılı yük uygulanmıştır.}$



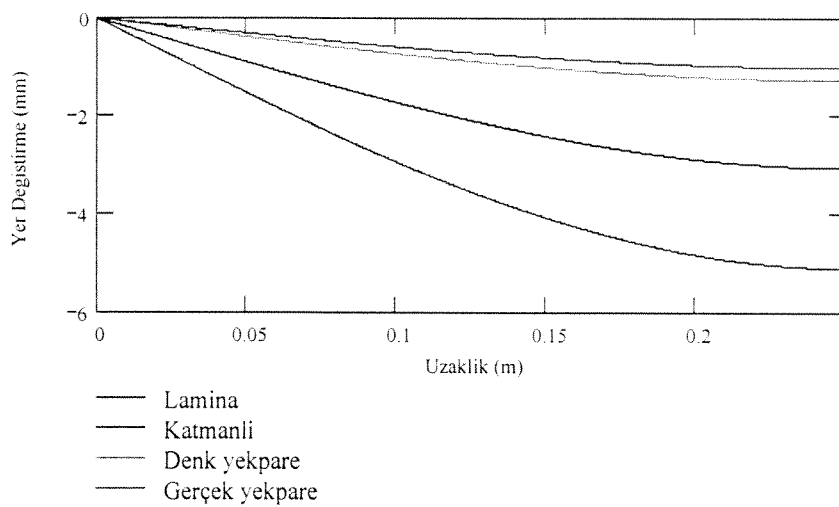
Şekil 3.6. Krişin yarısı boyunca -1.11° C sıcaklığında yerdeğiştirme grafiği.

Şekil 3.6'de yerdeğiştirme-yük ve 3.7'da eksenel gerilme-yük grafikleri verilmiştir. Bu grafiklerde lamina camın davranışı gerçek yekpare camının gibidir. Bunun nedeni sıcaklık çok düşük olduğu için aratabakanın kesme modülü oldukça yüksektir. Tabakalı camın davranışları ise beklentiği gibi diğer cam kırışlarından oldukça farklıdır: büyük yerdeğiştirmeler, yüksek gerilmeler. Dikkat edilmesi gereken diğer nokta ise lamina camdaki yerdeğiştirmelerin ve gerilmelerin eşdeğer yekpare camın yerdeğiştirmelerinden ve gerilmelerinden küçük olmasıdır. Böylece lamina cam kırışlarının davranışları için alt sınır eşdeğer yekpare cam kırışlarının davranışları değil gerçek yekpare cam kırışlarının davranışıdır.

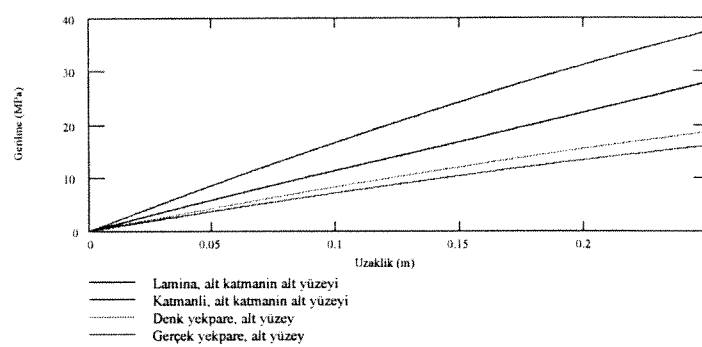


Şekil 3.7. Kirişin yarısı boyunca -1.11°C sıcaklıkta gerilim grafiği.

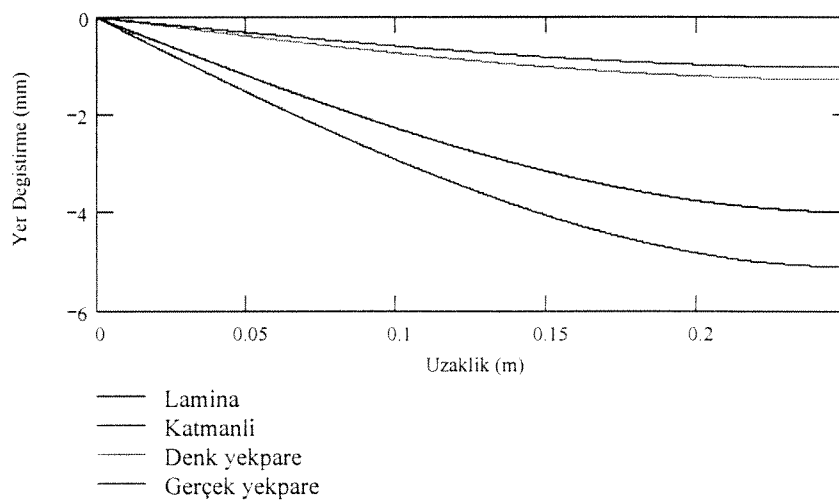
Şekiller 3.8 ve 3.9 21.11°C sıcaklığında elde edilen verilere göre çizilmiştir. Bu grafiklerde lamina camın davranışını gerçek yekpare cam ve tabakalı cam kiriş davranışlarının ortasına düşmektedir. Sıcaklık 48.89°C olduğunda davranışını anlamak için Şekiller 3.10 ve 3.11 çizilmiştir. Bu sıcaklıkta aratabakanın kesme modülü oldukça düşüktür ve lamina camın davranışını tabakalı camın davranışına yaklaşmak tadır.



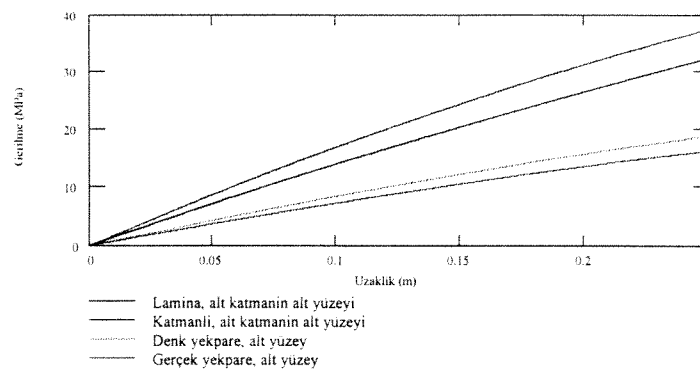
Şekil 3.8. Kirişin yarısı boyunca 21.11°C sıcaklıkta yerdeğiştirme grafiği.



Şekil 3.9. Krişin yarısı boyunca 21.11°C sıcaklıkta gerilme grafiği.



Şekil 3.10. Krişin yarısı boyunca 48.89°C sıcaklıkta yerdeğiştirme grafiği.



Şekil 3.11. Krişin yarısı boyunca 48.89°C sıcaklıkta gerilme grafiği.

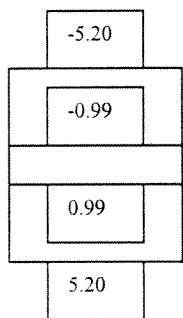
3.3.1.5 Kesitte gerilme dağılımı

Kiriş kesitindeki gerilme dağılımı Şekil 3.12'de verilmiştir. Gerilmeler -1.11°C , 21.11°C ve 48.89°C sıcaklıklar içindir. İlk sırada bu çalışmada geliştirilen modelden elde edilen gerilmeler, ikinci sırada Edel'in (1997) çalışmasından elde edilen gerilmeler verilmiştir. Kullanılan veriler de Edel'in (1997) çalışmasında kullanılan verilerdir. Yine aynı veriler kullanılarak son sırada tabakalı, eşdeğer yekpare ve gerçek yekpare cam kirişlerin kesitlerinde oluşan gerilmeler verilmiştir. (geometri ve malzeme özellikleri: kiriş uzunluğu: 0.6096 m; kiriş genişliği: 0.1524 m; tek cam kalınlığı: 3.2004 mm; PVB kalınlığı: 1.524 mm; cam elastik modülü: 64.5 Gpa; kirişin ortasında uygulanan noktasal yük: 92.56 N; PVB'nin kesme modülü ise sıcaklığına göre Tablo 3.1'de verilmiştir).

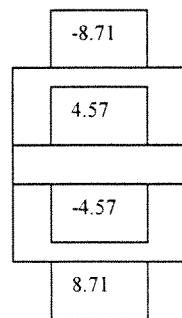
Modelden elde edilen sonuçlarda bakışıklık izlenmektedir. Bunun nedeni aratabakanın yükleme yönünde sıkışmadığı, yerdeğiştirmediği varsayımdır. Sıcaklık -1.11°C iken tarafsız eksen aratabakada yer almaktadır. Sıcaklık arttıkça tarafsız eksenler camın ortasına doğru ilerlemektedir. Tabakalı kirişte bilindiği gibi tarafsız eksenler cam kalınlığının tam ortasına düşer. Bu beklenen bir sonuçtur, çünkü sıcaklık arttıkça PVB'nin kesme modülü düşmekte ve lamina cam kirişin davranışını tabakalı kiriş davranışına yaklaşmaktadır. Dikkat edilirse, lamina cam kirişte sıcaklık yükseldikçe gerilmeler artmaktadır.

Son sıradaki şekillerde en yüksek gerilmeleri tabakalı cam kirişin kesitinde en düşük gerilmeleri ise gerçek yekpare cam kirişin kesitinde görüyoruz.

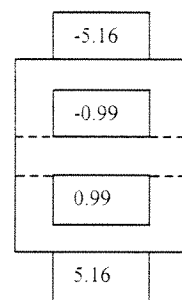
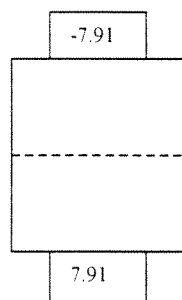
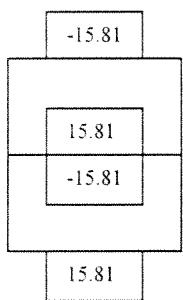
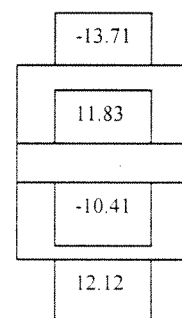
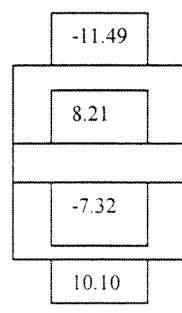
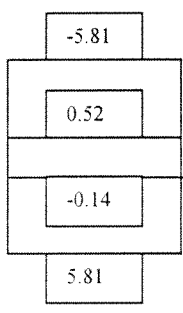
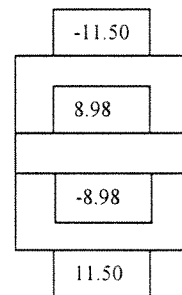
-1.11° C



21.11° C



48.89° C



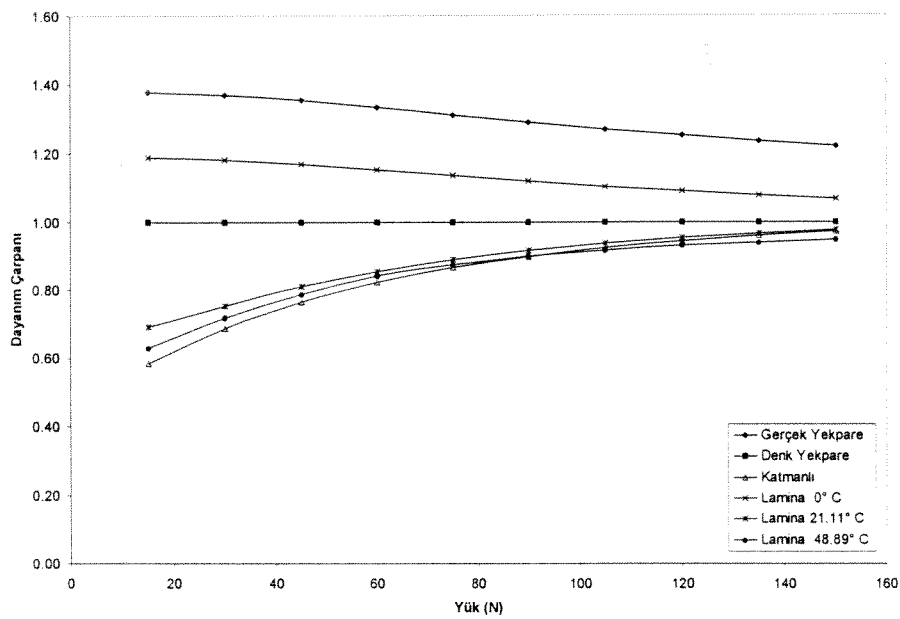
Şekil 3.12. Cam kırış kesitinde gerilme dağılımı

3.3.2 Sabit mesnetli kırışler

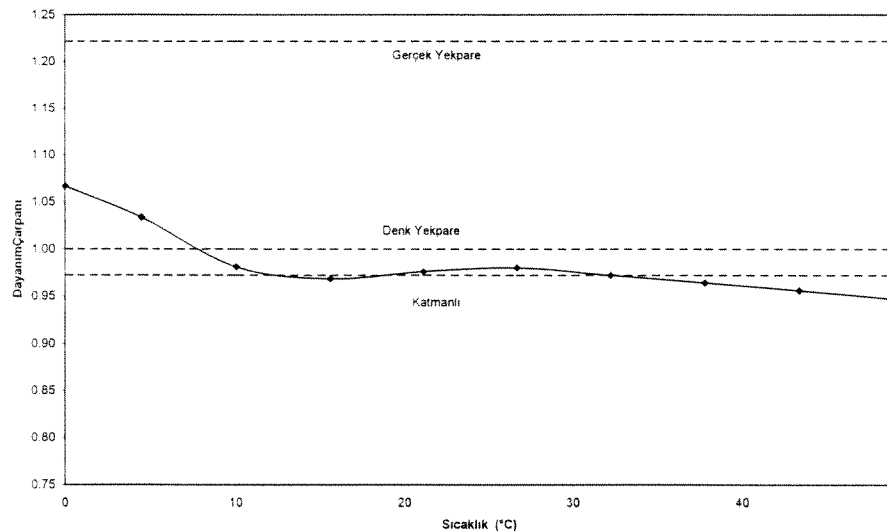
Sabit mesnetli kırışlerde, basit mesnetli kırışlerde oluşan, sınır şartlarından kaynaklanan halat kuvvetleri benzeri eksenel kuvvetler oluşmaktadır. Bu kuvvetler sabit mesnetli kırışlerde doğrusal olmayan davranışa yol açmaktadır. Bu nedenle sabit mesnetli kırışların çözümlemesinde büyük yerdeğiştirme çözümlemesi yapmak gereklidir. Aşağıdaki alt başlıklarda sabit mesnetli kırışların doğrusal olmayan davranışını göz önüne alınarak yapılan çalışmalar sunulmuştur. Kullanılan veriler kısım 3.2'de verilen verilerdir: 0.5, 0.75, 1 ve 1.5 metre uzunlukta, 50 mm genişlikte ve $2.12+0.76+2.12$ (üst camın kalınlığı+aratabaka kalınlığı+alt camın kalınlığı) kalınlıkta lamina cam kırışlar seçilmiştir. Karşılaştırma amaçlı olarak tabakalı ve yekpare cam kırışlar için de çözüm yapılmıştır. Statik durumda doğrusal olmayan çözümleme için ANSYS programının büyük yerdeğiştirme seçeneği kullanılmıştır. Camın elastik modülü 64.5 GPa, PVB'nin kesme modülü ise Tablo 3.1'den alınmıştır.

3.3.2.1 Geometri ve sıcaklık ile DÇ'nın değişimi

Açıklık/kiriş kalınlığı =100 için dayanım çarpanı yüze göre Şekil 3.13'te verilmiştir. Grafikte görüldüğü gibi yüksek yüklerde tüm egriler $D\dot{C}=1$ çizgisine yaklaşmaktadır. Yük 20 N iken lamina cam için $D\dot{C}$ aralığı 0.6-1.20 iken, yük 150 olduğunda yaklaşık 0.95-1.07 olmaktadır. Tabakalı kiriş için $D\dot{C}$ yük 150 N iken 0.97 olduğu görülmektedir. Tabakalı kirişin dayanım çarpanı 49°C derecede lamina kırışından daha yüksektir. Şekil 4.21'de yük 150 N iken $D\dot{C}$ -sıcaklık grafiği verilmiştir. Bu grafikten görüleceği gibi $D\dot{C}$ yaklaşık olarak 0.95 ile 1.05 aralığındadır.



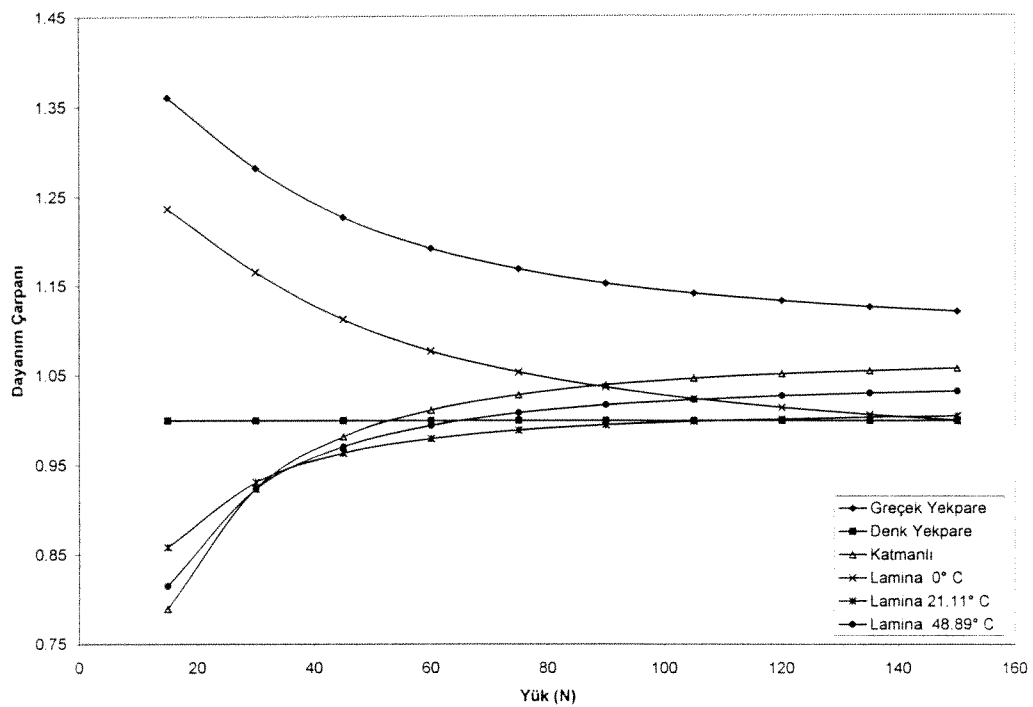
Şekil 3.13. DÇ'nın yük ile değişimi, açıklık/kalınlık = 100.



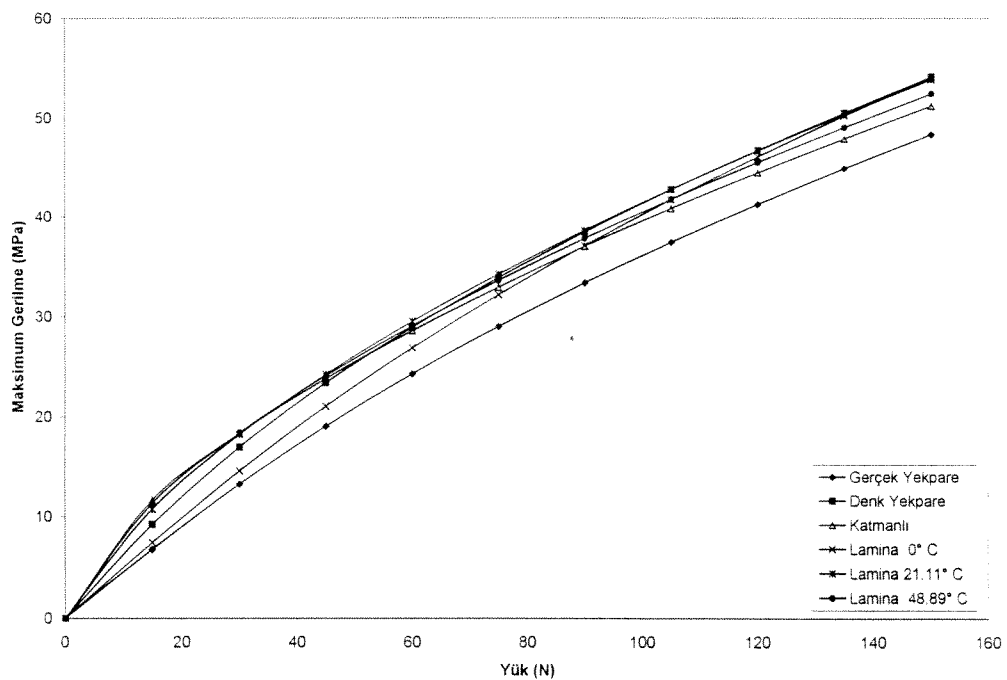
Şekil 3.14. DÇ'nın 150 N'da sıcaklık ile değişimi, açıklık/kalınlık = 100.

Şekiller 3.15, 3.16 ve 3.17 açıklık/kalınlık=150 değeri için çizilmiştir. Şekil 3.15 DÇ'nın çeşitli kırışlar için yük ile değişimini vermektedir. Açıklık/kalınlık=100 için çizilen grafiklerle benzerlik göstermektedir. Fakat DÇ aralığı daha küçüktür. Şekil 3.16 en büyük eksenel gerilmenin yükle değişimini göstermek için çizilmiştir.

Gerçek yekpare cam kırış alt sınır olarak belirgindir. Fakat üst sınır tabakalı cam kırış değildir. Tabakalı cam kırış bazı yüklerde üstte kalmakta bazı yüklerde ise lamina kırış için çizilen gerilme eğrilerinin altına düşmektedir.



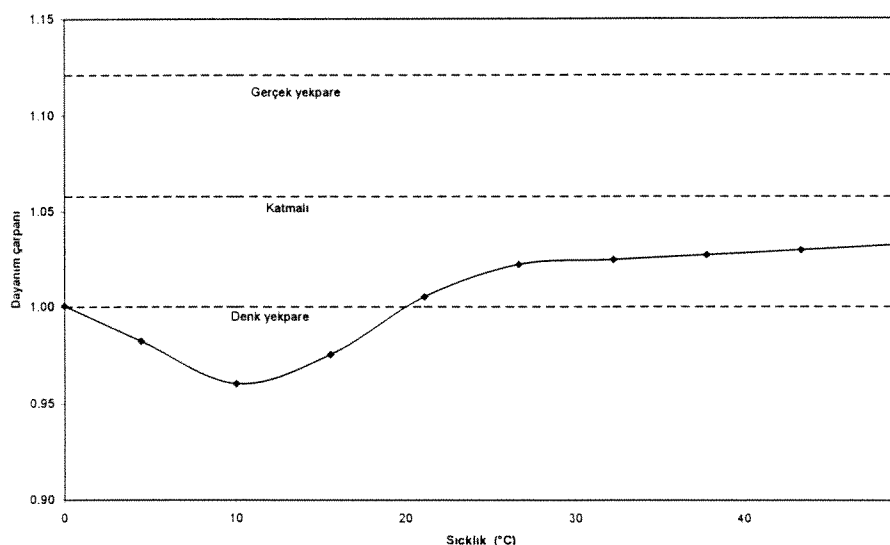
Şekil 3.15. DÇ'nın yük ile değişimi, açıklık/kalınlık = 150.



Şekil 3.16. Enbüyük çekme gerilmesinin yük ile değişimi, açıklık/kalınlık = 150.

Şekil 3.17 150 N'luk yük altında DÇ'nın sıcaklığı göre değişimi için çizilmiştir. Bu şekilde ilginç olan tabakalı cam kırış sınırının eşdeğer yekpare cam kırış sınırının üstünde olmasıdır. Bunun anlamı tabakalı cam kırışte, 0° C ile 49° C

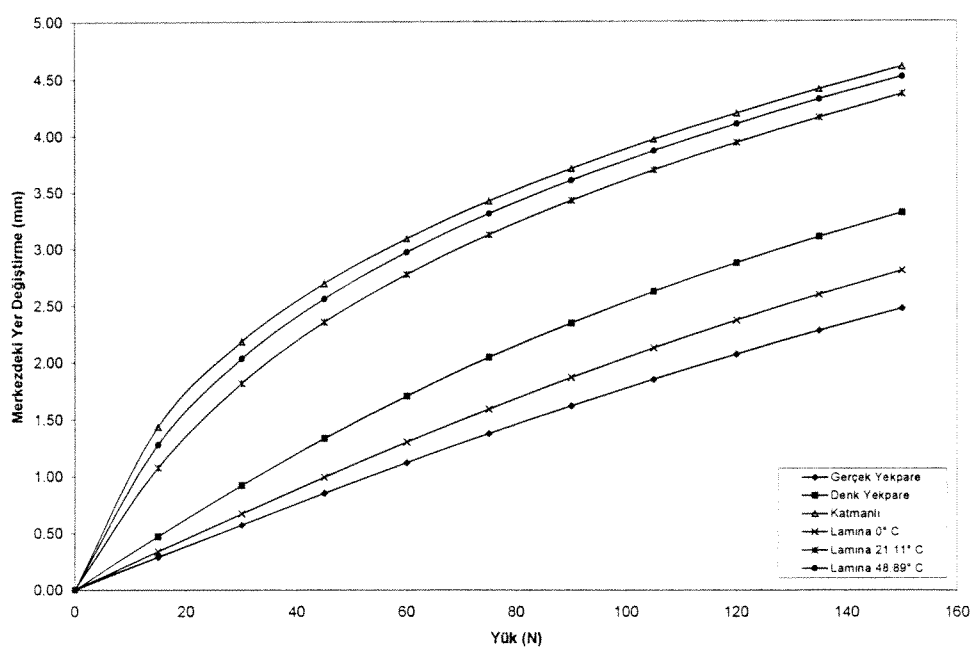
arasında, enbüyük gerilmeler eşdeğer yekpare kirişteki enbüyük gerilmelerin altında kalmasıdır.



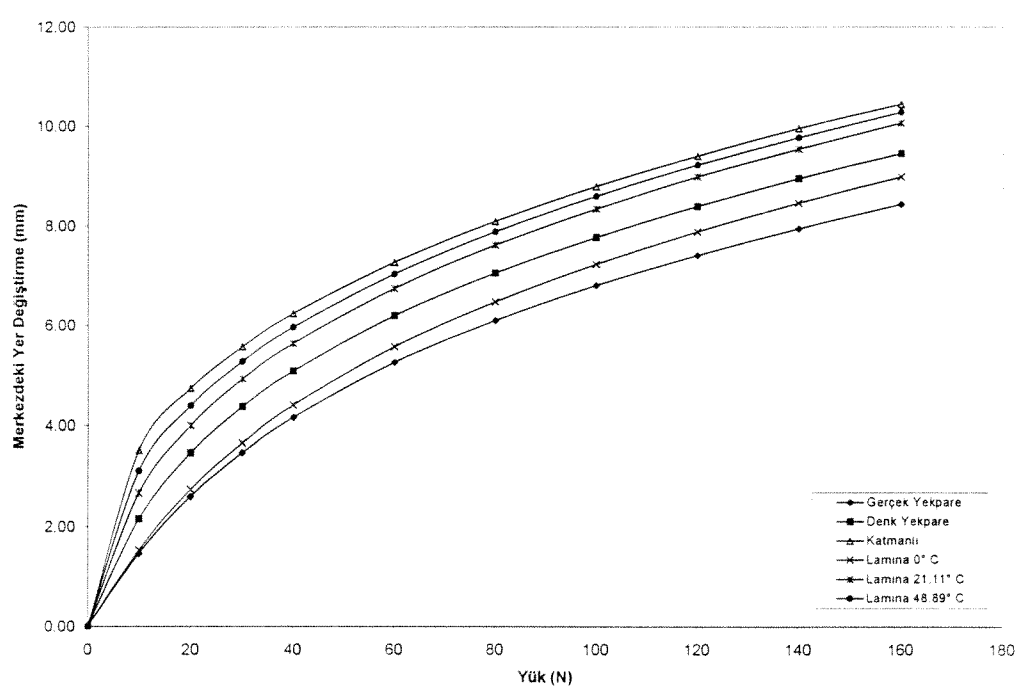
Şekil 3.17. DÇ'nın 150 N'da sıcaklık ile değişimi, açıklık/kalınlık = 150.

3.3.2.2 Kiriş merkezindeki yerdeğiştirme-yük eğrileri

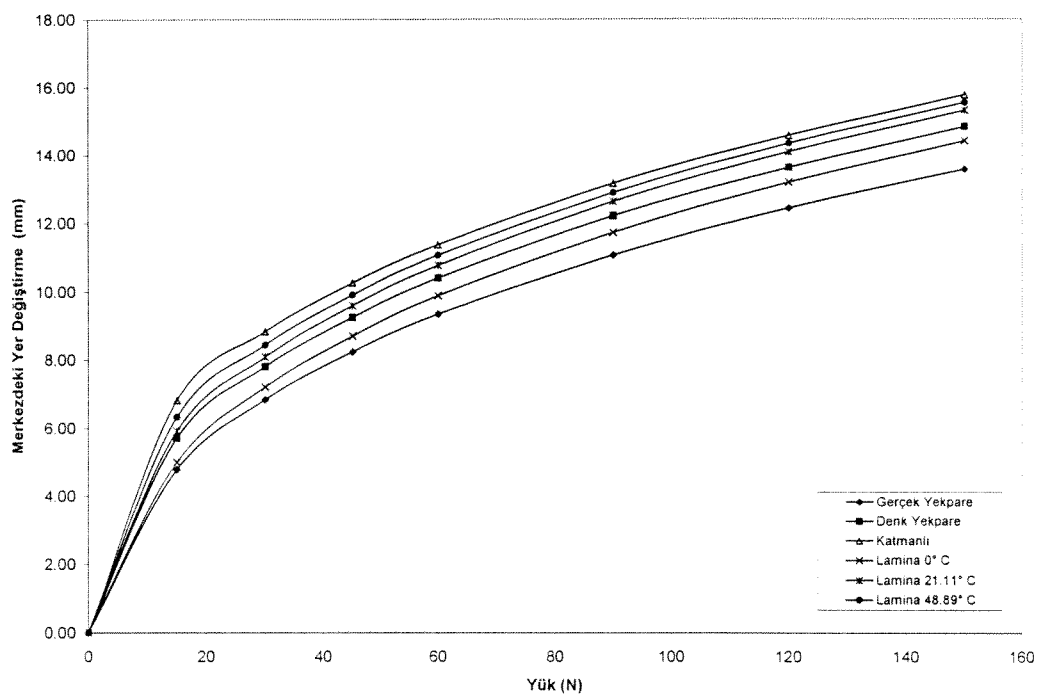
Şekiller 3.18, 3.19 ve 3.20 kiriş açıklığı/kiriş kalınlığı=100, 200 ve 300 oranları için kiriş merkezinde yerdeğiştirme-yük grafikleridir. Bu grafiklerdeki eğriler gerilme grafiklerinden farklı olarak aynı sırayı korumaktadır: (alttan üstte) gerçek yekpare, 0° C derecede lamina, eşdeğer yekpare, 21.11° C derecede lamina, 48.89° C derecede lamina ve tabakalı cam kiriş eğrileri. Açıklık/kalınlık oranı arttıkça eğriler birbirine yaklaşmaktadır, bekleniği gibi doğrusal olmama durumu daha belirginleşmektedir.



Şekil 3.18. Kiriş merkezindeki yerdeğiştirme-yük, açıklık/kalınlık =100.



Şekil 3.19. Kiriş merkezindeki yerdeğiştirme-yük, açıklärı/kalınlık = 200.



Şekil 3.180. Kiriş merkezindeki yerdeğiştirme-yük, açıklık/kalınlık = 300.

BÖLÜM 4

DENEYLER

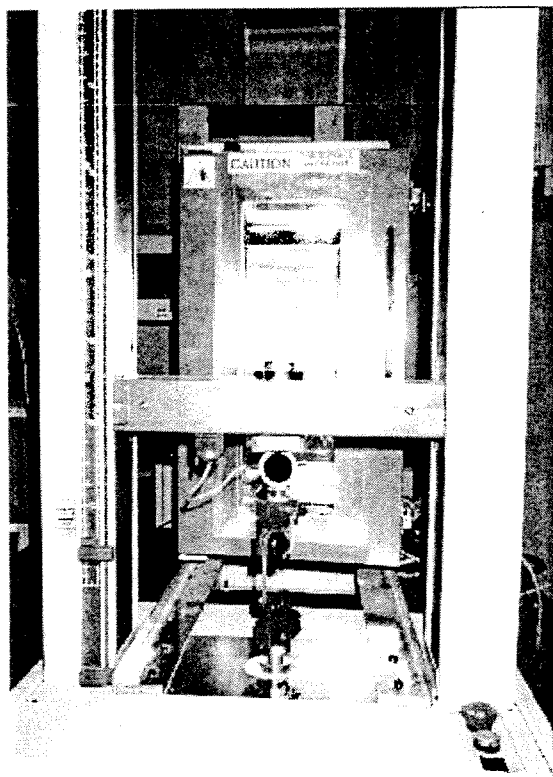
4.1 PVB deneyleri

4.1.1 Çekme deneyleri

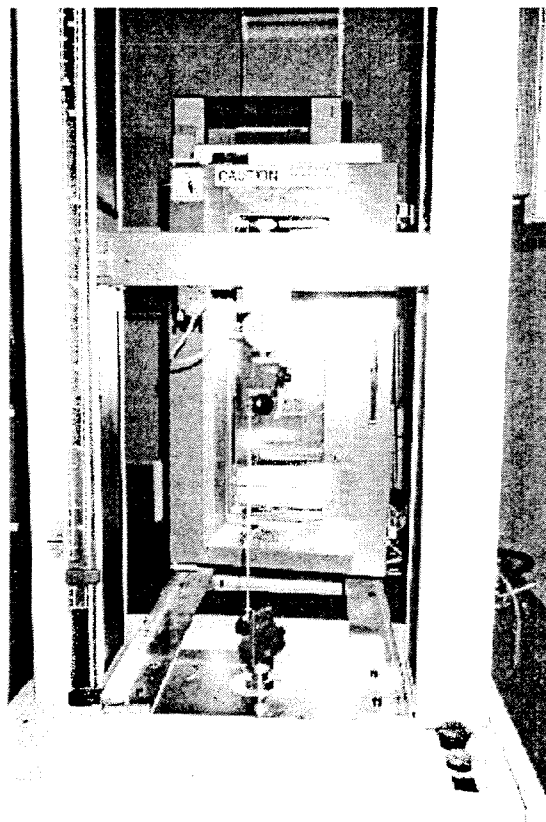
Çekme deneyleri Dupont, Saflex ve Sekusui üretimi PVB'lerle yapılmıştır. Deneylerden elde edilen sonuçlar kullanılarak PVB'nin kesme modülü elde edilmiştir. Deneyler oda sıcaklığı olan 22°C derecede, %32 ve %39 bağıl nem oranlarında yapıldı.

4.1.1.1 Numuneler

Numuneler gerdirilmiş ve gerdirilmemiş olarak iki tiptir. Ayrıca her tip renkli ve renksiz numune içermektedir. PVB'leri gerdirme işlemi yüksek sıcaklık altında yapılır. Renkli PVB'ler renkli lamina cam üretmek için kullanılmaktadır. Saflex, gerdirilmiş, gerdirilmemiş ve renkli olmak üzere üç grup içerir. Dupont numuneleri gerdirilmemiş, renkli gerdirilmemiş, gerdirilmiş ve renkli gerdirilmiş olarak dört gruba ayrılır. Sekusui ise sadece gerdirilmemiş ve gerdirilmiş olarak iki gruba ayrılır.



Şekil 4.1. PVB çekme deneyi düzeneği.



Şekil 4.2. PVB çekme deneyi.

Her grupta beş numene vardır. Her PVB numenesi 5mm genişliğinde ve 150mm uzunluğundadır. Numenelerin kalınlığı ise 0.65mm ile 0.78mm arasındadır.

4.1.1.2 Deney gereçleri

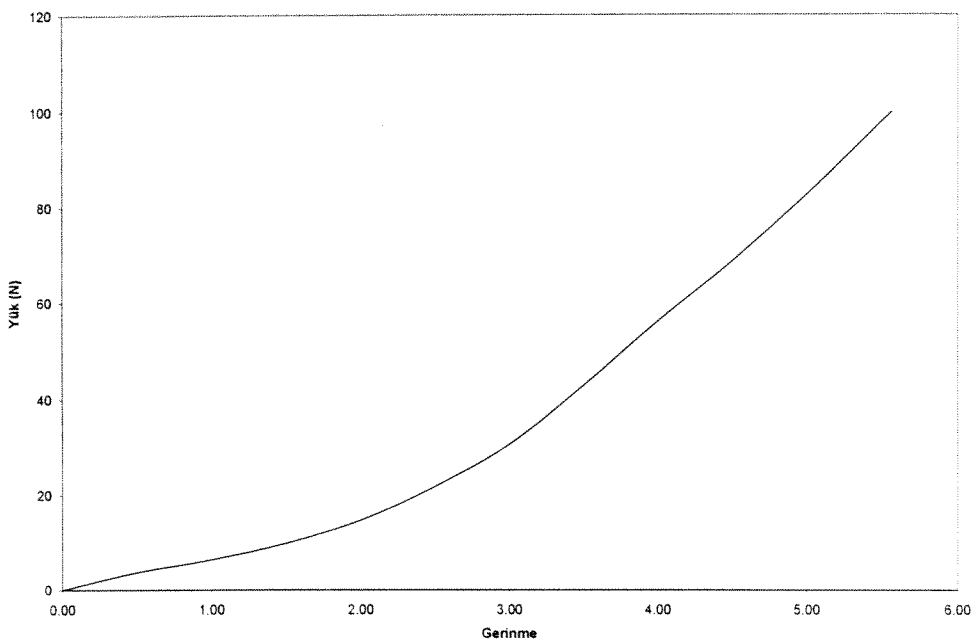
Lloyd Inst. Ltd. LS500 malzeme deney aracı ve DAPMAT v 3.21 yazılımı numelerin deneyinde kullanılmıştır. Numelerin uçları sarılıp vidayla sabitlenmiş ve gage uzunluğu 80mm olarak ayarlanmıştır.

4.1.1.3 Deneyin yapılışı

Örnekler, gerinmeler çoğu numunenin koptuğu 7'ye gelinceye kadar 25mm/dakika hızla çekildi.

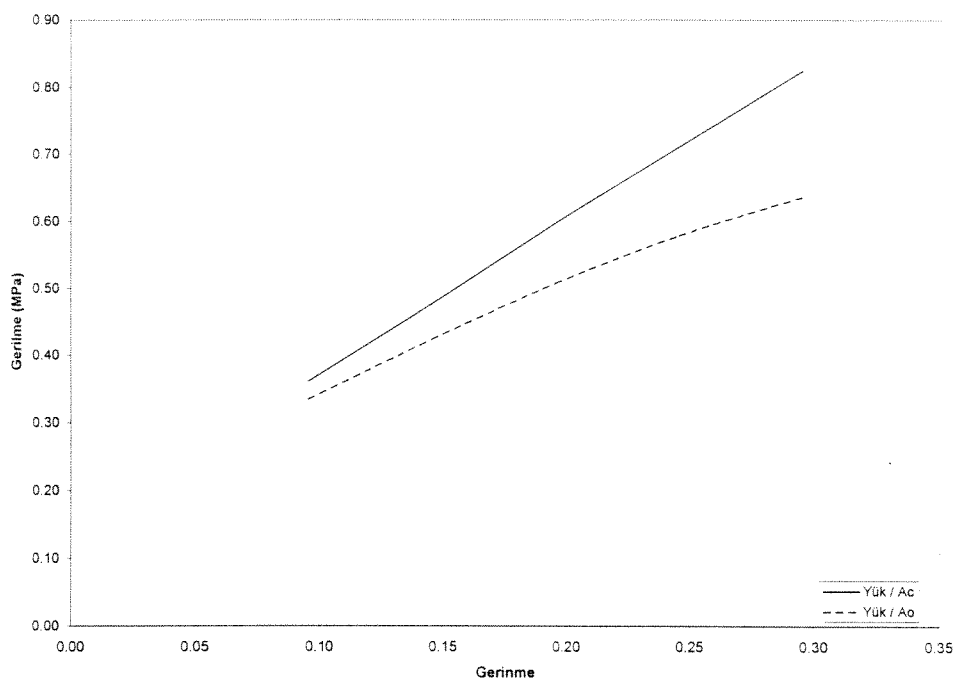
4.1.1.4 Sonuçlar

Deney sırasında, çekme altındaki PVB şeritlerinin kopmadan önce hayatı yüksek gerinim değerlerine ulaştığı gözlendi. Kopmayan örneklerde, ölçümler deformasyonun %99'unun 4 saat içinde, tamamının ise 24 saat içinde kaybolduğu saptandı ki bu durum plastik deformasyon olmadığını işaret etmektedir. Grafikte de gözlenebileceği üzere örnekler, gevrek bir malzeme gibi aniden koptular. Diğer bir ilginç olgu ise örneklerin genişlik ve kalınlığının, markaya göre 3 ile 5 arasında değişen bir gerinim değerine dek son derece hızlı bir şekilde azaldıktan sonra, ki bu noktada yaklaşık yarı boyutlarına inmiş bulunuyorlardı, artık koprulaşınca daha fazla bir azalma sergilememeleriydi. Şekil 4.3'teki gibi, yük-gerinim eğrisi çift-doğrusaldı: alçak eğimli doğrusal bir bölüm, 2 ile 4 gerinme değerleri arasında yer alan bir geçiş bölümü, ve neredeyse 40 kat fazla diklikte bir eğimle ikinci bir doğrusal bölüm.



Şekil 4.3. Çekme altındaki PVB için tipik yük-gerinim eğrisi.

Kesit alanı ilk bölümde çok hızlı değiştiği için, gerilim hesabında kullanılan alan, başlangıçtaki alan değil gerinimin bir fonksiyonuydu.



Şekil 4.4. Düzeltilmiş kesit alanı A_c ve ilk kesit alanı A_0 ile hesaplanan gerilmeler.

Bu bölgedeki Poisson oranı, Edel (1997)'daki gibi 0.40 olarak alındı; bu değer, sonlu elemanlar modellerinin sonuçları tarafından da doğrulanmış bir değerdi. Hem genişlik hem de kalınlık değiştigidinden dolayı,

$$w(\varepsilon_x) = w_0(1 - \nu\varepsilon_x)$$

$$t(\varepsilon_x) = t_0(1 - \nu\varepsilon_x)$$

$$A(\varepsilon_x) = w(\varepsilon_x) \times t(\varepsilon_x) = w_0 t_0 (1 - \nu\varepsilon_x)^2$$

$$A(\varepsilon_x) = A_c = A_0 (1 - \nu\varepsilon_x)^2$$

0.40 değeri gerçekte yüksek gerinmelerde sıfır ulaşmak üzere azalmaktadır; ancak uygulanan kuvveti bu değişken alanla bölmek, kuvvet-gerinim eğrisini başlangıçtan itibaren belli bir bölgede düzleştirmekte ve kırışların yer değiştirmelerinde gözlenen düşük gerinim değerleri için doğrusal bir gerilim-gerinim eğrisi ortaya çıkmaktadır (Şekil 4.4). Buradan hesaplanan Young modülü daha sonra Poisson oranını yine 0.40 olarak kesme modülüne dönüştürülmüştür. Sonuçlar, aşağıda tablolanamaktadır:

Table 4.1. Çekme deneylerinden elde edilen kesme modülleri. Sonuçlar kPa cinsindendir.

Test	sxns22	sxs22	sxc22	dpns22	dpcns22	dps22	dpc22	skns22	sk22
1	784	897	701	638	726	560	680	446	449
2	815	805	705	536	606	563	664	457	420
3	700	891	624	564	646	541	692	466	446
4	689	806	630	504	594	550	664	464	421
5	758	891	784	558	671	494	653	448	451
Ortalama	749	858	665	541	629	554	671	456	437
St. Sapma	42	43	38	24	31	9	14	8	14
Oran (%)	5.6	5.0	5.7	4.3	4.9	1.6	2.0	1.8	3.2

Sonuçların kesinliği tatmin edicidir; standard sapmalar ortalamaların %5'inden azdır. Üstü çizili sayılar, eğilimin dışında oldukları için hesaplamaya katılmamışlardır. Renkli örneklerin modülü renksiz örneklerin modülüne göre Saflex için daha alçak; Dupont için ise daha yüksektir. Beri yandan, Saflex için gerilmiş örneklerin modülü gerilmemiş örneklerin modülüne göre daha yüksekse de, Dupont ve Sekusui için bu bakımdan önemli bir fark gözlenmemiştir. Saflex örnekleri, en

yüksek modüle sahiptir; 200 kPa geriden Dupont ve 300 kPa geriden Sekusui örnekleri gelmektedir.

4.1.2 Kesme deneyleri

Daha yüksek oda sıcaklıklarındaki davranış ve modülü belirlemek için kesme deneyleri de gerçekleştirilmiştir.

4.1.2.1 Örnekler

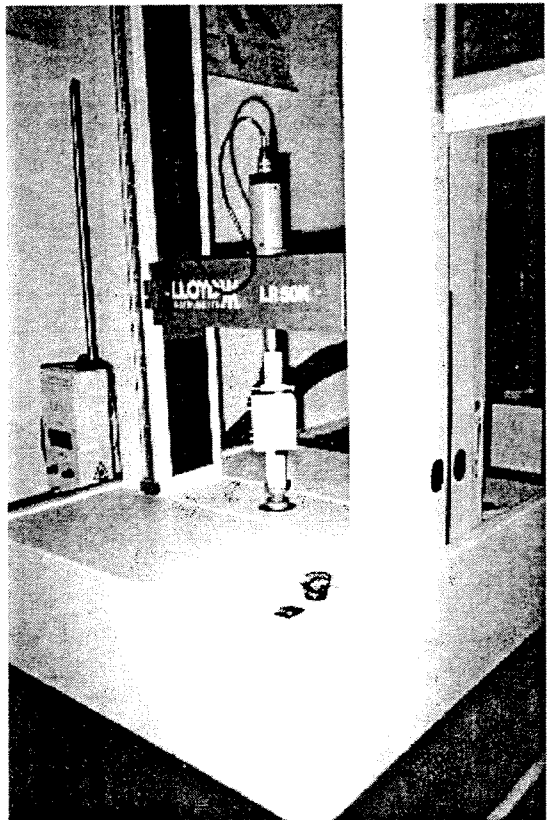
Örnekler, 5+5 mm kalınlığında ve 50 mm kenar uzunluğunda kare örneklerdi. Örnekler, daha önceki deneylerde olduğu gibi Saflex, Dupont ve Sekusui firmalarından geliyordu. Saflex and Dupont örnekleri, renkli ve renksiz olarak iki sınıftı; buna karşılık, Sekusui örnekleri yalnız renksiz örneklerdi. Her grup için beş örnek kullanıldıysa da, bazı gruplar kimi camların düzgün kesilmemiş olmalarından dolayı daha az örnekten oluşuyorlardı. PVB kalınlıklarıyla ortamdaki sıcaklık ve nem, aşağıda gösterilmektedir:

Tablo 4.2. PVB numunelerinin kalınlığı ve deneyler için sıcaklık/nem şartları.

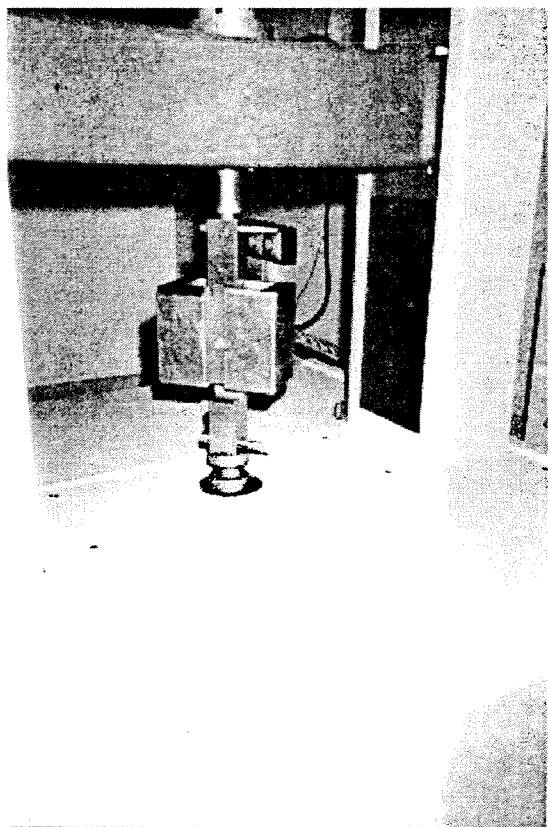
Şirket	Saflex		Dupont		Sekusui
	Renksiz	Renkli	Renksiz	Renkli	Renksiz
PVB Kalınlığı (mm)	0.46 ±0.02	0.49 ±0.01	0.41 ±0.01	0.40	0.44 ±0.02
Sıcaklık (°C)	29	29	28	28	26
Nem (%)	29	29	32	29	36

4.1.2.2 Deney gereçleri

Deneyler için Lloyd Inst. Ltd. LR50K malzeme deney gereci ile DAPMAT v 3.21 yazılımı kullanılmıştır.

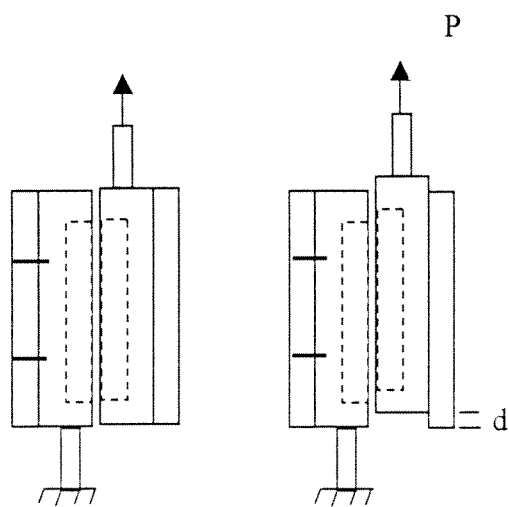


Şekil 4.5. PVB Kesme Deneyi kurulumu.



Şekil 4.6. Kesme kutuları.

Örneklerde kesme kuvveti uygulamak için kullanılan gereç, iki cam tabakasını tutan iki kutudan oluşmaktadır. Bir kutu üstteki basınç hücresine, diğer ise makinenin tabanına bağlanmaktadır. Altta bulunan kutuya, iki kutuyu da saran iki parça daha vidalanarak üst kutunun kesin olarak düşey bir düzlemde hareket etmesi güvence altına alındı. (Şekil 4.7).



Şekil 4.7. Kesme deneyi gereci.

4.1.2.3 Deney yapılışı

Örneklerde, 0.048 mm/dk hızla eksenel gerinme uygulandı; bu gerinim, deney aygıtı tarafından ara katman üzerinde kesme gerinmesine çevrilmektedir.

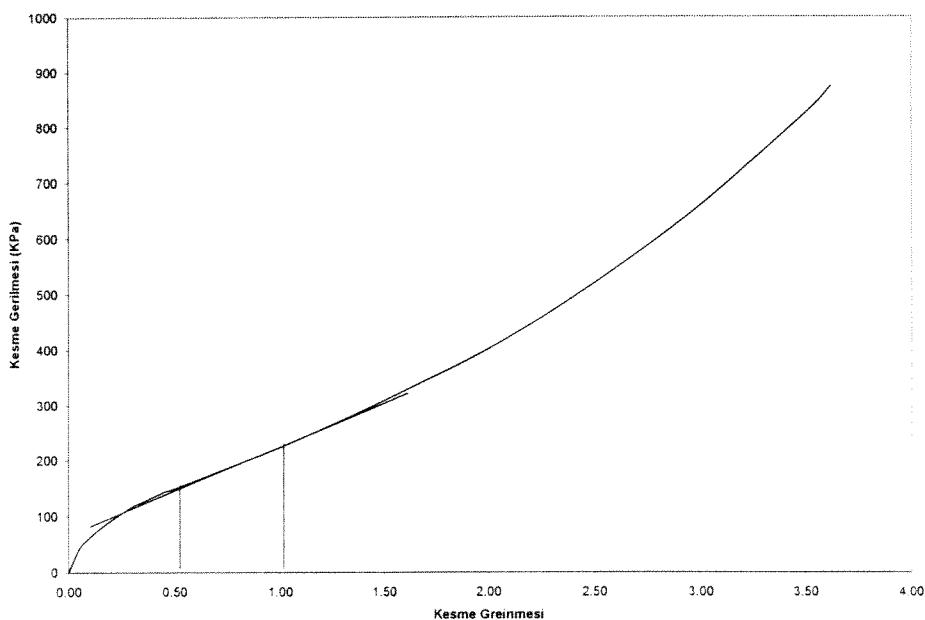
Kesme gerilmeleri ve gerinmeleri, aşağıdaki formüllerle hesaplandı:

$$\tau = \frac{P}{A} \quad \gamma = \frac{d}{t}$$

4.1.2.4 Sonuçlar

Tipik gerilim-gerinim eğrisi dört bölgeden oluşmaktadır: 0.25 gerinim değerine kadar süren, her örnekte farklı eğime sahip olduğu için güvenilemeyecek bir

bölge; 0.5'ten 1.5'a kadar süren bir doğrusal bölge, 1.5'tan 2.0'a kadar süren bir geçiş bölgesi ve ilkinden daha yüksek eğime sahip ikinci bir doğrusal bölge. (Şekil 4.8). Kesme modülleri, eğri üzerinde 0.5 ile 1.0 gerinim değerlerine karşılık gelen iki nokta arasında çizilen çizginin eğiminden elde edilmiştir.



Şekil 4.8. Kesme deneyleri için tipik kesme gerilim-gerinim eğrisi.

Tablo 4.3. Kesme deneylerinden elde edilen kesme modülü değerleri. Değerler kPa cinsindendir.

Test	shsx29	shcsx29	shdp28	shcdp28	shsk26
1	278	233	184	207	189
2	264	225	200	210	167
3	260	249	200	158	
4	229		169	197	197
5	240		227	194	182
Ortalama	260	236	195	202	189
St. Sapma	14	10	7	6	6
Oran (%)	5.2	4.2	3.8	3.2	3.3

Sonuçlar Tablo 4.3'te gösterilmektedir. Standart sapmalar ortalamaların % 5'inden azdır. Üzeri çizili rakamlar eğilimin dışında oldukları için değerlendirmeye katılmamışlardır. Çekme deneylerinde olduğu gibi, en yüksek modüle Saflex örnekleri sahiptir; onları, Dupont ve Sekusui izlemektedir. Renkli ve renksiz örnekler arasında belirgin bir fark gözlenmemiştir.

4.2 Kiriş Deneyleri

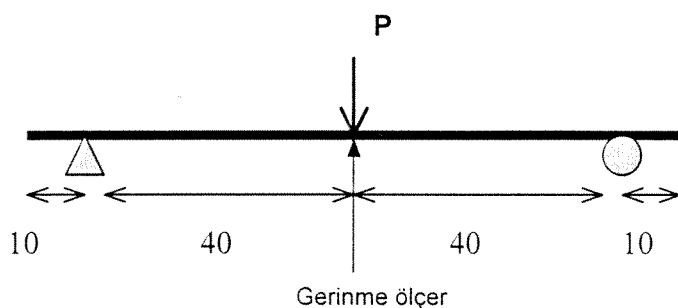
4.2.1 Örnekler

Serbest mesnetli kiriş deneylerinde, Trakya Şişe Cam Fabrikası'ndan gönderilen dört örnek kullanılmıştır.

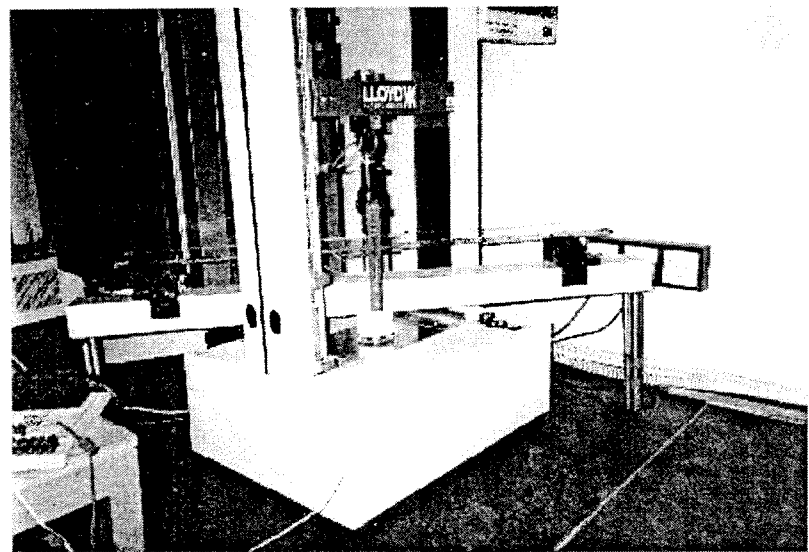
Üretici tarafından lamina camda kullanılan PVB'nin Saflex, Dupont veya Sekusui olduğu ifade edilmiş; çekme ve kesme deneylerinin sonuçları ile kiriş deneylerinden elde edilen gerilme ve yer değiştirme değerlerinden, söz konusu PVB'nin en yüksek kesme modülüne sahip Saflex marka olduğu sonucuna varılmıştır. Kirişlerin boyutları: 1.0 m uzunluk, 0.80 m açıklık, 10 cm kalınlık, 5+5 mm cam kalınlığı ve 0.38 mm ara katman kalınlığı.

4.2.2 Deney gereçleri

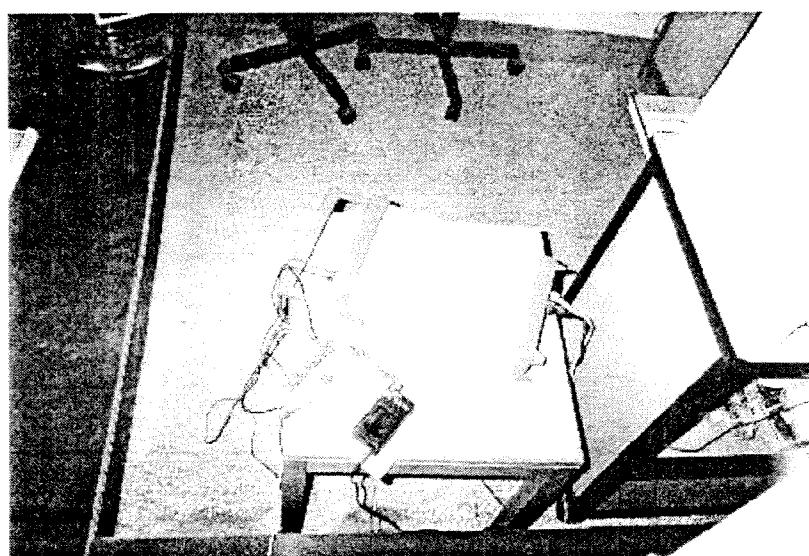
Üç noktalı eğilme deneyi, Lloyd Inst. Ltd. LS500 malzeme deney gereci ve DAPMAT v 3.21 yazılımı ile gerçekleştirilmiştir. Deney için kullanılan üç noktalı eğilme gereci, Lloyd firması tarafından sağlanan model üzerine, daha fazla açıklığa imkan verecek şekilde imal edilmiştir. Gerinmeler, çeyrek Whetstone köprüsü ve 120 ohm gerinme göstergeleriyle ölçülmüştür.



Şekil 4.9. Basit mesnetli kiriş için 3-noktalı eğilme düzeneği.



Şekil 4.10. Lamina cam eğilme deneyi düzeneği.



Şekil 4.11. Whetstone Köprüsü ile HP çoklumetresi.

Gerinme göstergeleri, maksimum çekme gerilmesini ölçmek üzere, kirişin orta noktasında, alt yüzeyin genişliğinin ortasına denk düşen yerine yapıştırılmıştır (Şekil 4.11). Voltaj farkı, HP 34401A multimetresi ile onun kontrol yazılımı kullanılarak ölçülmüştür.

4.2.3 Deneyin yapılışı

Örnekler oda sıcaklığında (22° C), %30-35 bağıl nemde 6 mm/dk hızında toplam deney süresi 60 saniyeyi geçmeyecek şekilde yüklenmiş ve Whetstone köprüsünden gelen voltaj değerleri deneylerin başında ve sonunda okunmuştur. Bu voltaj farklıları daha sonra aşağıdaki formülle gerinme değerlerine dönüştürülmüştür:

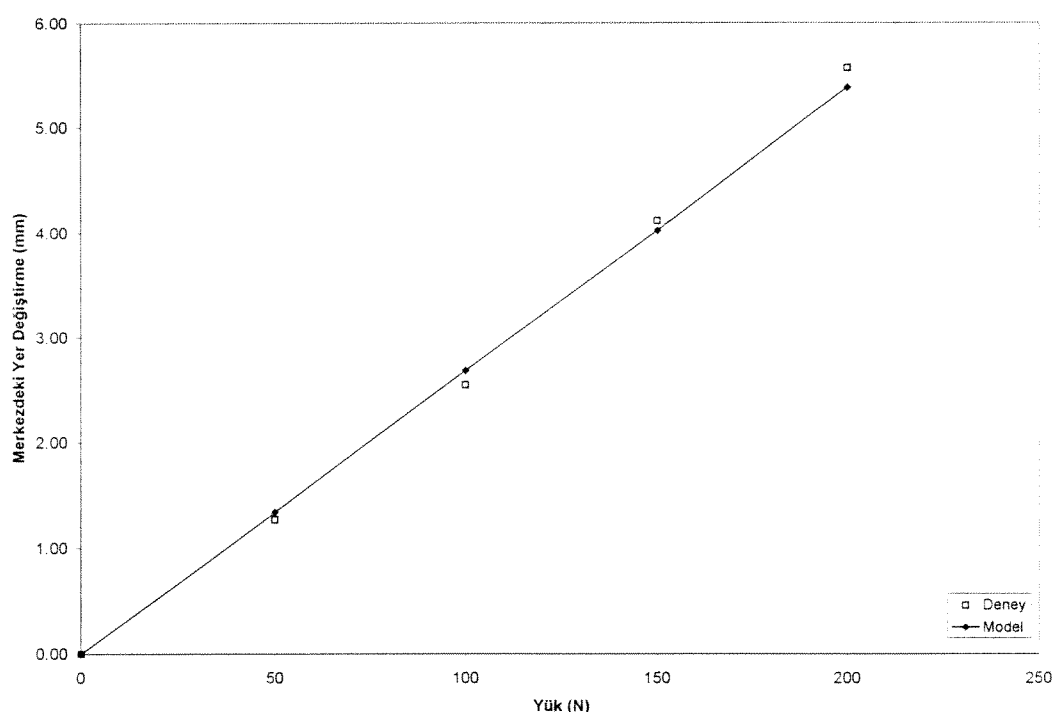
$$\Delta V = \frac{1}{4} \rho_g \varepsilon V$$

Burada ΔV voltaj farkı, ρ_g gösterge çarpanı (bu deneyde kullanılanlar için 2.13), ε gerinme ve V devreye verilen gerilimdir (burada 15.25 V). Bu sistem ara yüklemelerde gerinme ölçümüne izin vermediği için örnekler 50 N, 100 N, 150 N ve 200 N yüklerine kadar ayrı ayrı yüklemiştir.

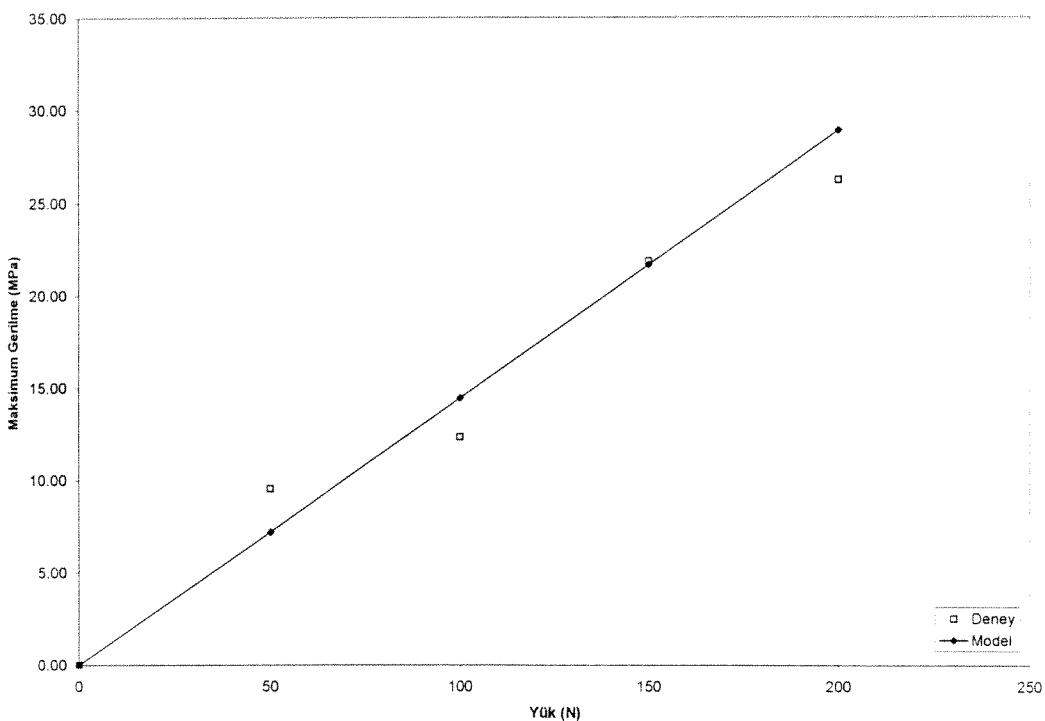
4.2.4 Sonuçlar

Deneysel sonuçlar, Şekil 4.12 ve 4.13 ile Tablo 4.5'te matematiksel modelin sonuçlarıyla karşılaştırılmaktadır. Deney ve model arasındaki yer değiştirme farklılarının %5'ten yüksek olmadığı gözlenmiştir. Bu yer değiştirme değerlerinden, camların arasındaki ara katmanın, daha önceki deneylerde en yüksek kesme modülü değerini veren Saflex olduğu sonucuna varılmıştır. Saflex PVB için 22° C 'deki kesme modülü değeri, gerilmemiş örnekler için 749 kPa; gerilmiş örnekler için 858 kPa olarak bulunmuştur. Ancak, yukarıda da söz edildiği gibi, 0.38 mm gibi çok ince ara

katmanlar için etkin kesme modülü değerinde Hooper (1973) tarafından da rapor edilen %50 dolayında bir artış gözlenmektedir. Bölüm 4.3.1.6'da, azalan kalınlıktan kaynaklanan kesme gerinmesi artışının ancak mütevazi bir düzeyde olduğu gösterilmiştir. Hooper'in sözleriyle, "bu durum kısmen plastik-cam arayüzünde ancak ara katman görece ince olduğunda ortaya çıkan ve bir 'sınır-katmanı' olgusu niteliği sergileyen ek bir sarma veya engelleme etkisine de bağlı olabilir". Bu durumda, gerilmiş ara katmanın kesme modülünün %50 fazlası, yani 1287 kPa değerinin modelden tatmin edici sonuçlar alınmasını sağladığı görülmüştür.



Şekil 4.12.Model ve deneyden elde edilen merkezi yerdeğiştirme değerleri.



Şekil 4.13. Deney ve modelden elde edilen enbüyük çekme gerilmesi değerleri.

Yer değiştirme grafiğinde göze çapan bir nokta da, son iki yer değiştirme değerine (150 ve 200 N) karşılık gelen eğimlerin, ilk ikisine göre daha yüksek olmasıdır. Bu büyük ihtimalle sıcaklığın ilk iki deney ile son iki deney arasında biraz yükselsmiş olmasından kaynaklanmaktadır.

Tablo 4.4. Deneysel ve matematiksel sonuçların karşılaştırması.

Yük	Merkezi Yer Değiştirme (mm)			Maksimum Gerinme ($\mu\epsilon$)			Maksimum Gerilme (MPa)		
	Deney	Model	Hata (%)	Deney	Model	Hata	Deney	Model	Hata (%)
0	0.00	0.00	0.0	0	0	0.0	0.00	0.00	0.0
50	1.27	1.34	5.5	148	112	-24.3	9.55	7.23	-24.3
100	2.55	2.69	5.5	191	224	17.3	12.34	14.45	17.1
150	4.12	4.03	-2.2	339	336	-0.8	21.89	21.68	-1.0
200	5.57	5.38	-3.4	407	448	10.1	26.27	28.90	10.0

Maksimum çekme gerilmelerine gelince, 50 N yüklemeye karşılık gelen gerilme değerinin, diğer üç değerden aksine, modelin sonucundan *yüksek* olduğu, hem de hatasının %23 dolaylarında bulunduğu gözlenmektedir. Buradan, ya ölçümlerde ya

da gerinme göstergesinin yerleştirilmesinde bir yanlışlık olduğu sonucuna varılabilir. Geri kalan gerilme değerleri, tutarlı bir biçimde modelin tahminlerinden küçük ya da ona eşittirler ve gerinme göstergesi teknolojisinin sınırları içinde hata değerlerine sahiptirler.

Tablo 4.5'te deney sırasında ölçülen gerinme değerleri ile onları camın Young modülü 64.5 GPa ile çarpma yoluyla elde edilen gerilmeler gösterilmektedir.

Tablo 4.5.Gerinme ve gerilme değerleri.

Yük (N)	Gerinme ($\mu\epsilon$)	Gerilme (MPa)
50	148	9.55
100	191	12.34
150	339	21.89
200	407	26.27

BÖLÜM 5

SONUÇLAR VE ÖNERİLER

Bu çalışmadan lamina camların görelî dayanımının belirlenmesinde iki önemli etki ortaya çıkmaktadır. Bunlardan biri aratabaka PVB'nin plastisayzır içeriği diğeri ise doğrusal olmayan etkilerdir.

Plastisayzır içeriği ve buna bağlı olarak oluşan geçiş sıcaklığı lamina camın dayanımında önemli etki yapmaktadır. Eğer geçiş aralığı oda sıcaklığında (25° C civarı) sonlanırsa (bu çalışmada kullanılan PVB'ler gibi) dayanım çarpanı -yüksek mevsim sıcaklıklarında erişilebilmesi olasılık dahilinde- olan 50° C dereceye kadarki sıcaklıklarda 0.6'ya kadar düşebilir. Eğer geçiş aralığı -Behr vd. (1993) deneylerinde kullandığı PVB'ler gibi- 50° C derece civarı başlarsa dayanım çarpanı 0.75 ve (0.85 gibi) üzeri olabilir. Endüstride üretilen "yumuşak" PVB'lerin geçiş aralığında farklılıklar olduğu için lamina cam üretimi için kullanılacak PVB'nin geçiş aralığı bilinmesi gereklidir.

Doğrusal olmayan davranışın etkisi sabit mesnetli kırışlar kullanılarak araştırılmıştır. Tabakalı ve lamina camlar doğrusal olmayan davranış bölgesine aynı yük altında eşdeğer yekpare cama göre daha önce girdiği için zar etkisi nedeniyle

dayanımları artmaktadır. Bu nedenle dayanım çarpanı, belli yük ve geometri altında (Vallabhan vd., 1987) 1.0'ın üzerine dahi çıkmaktadır.

Diğer önemli nokta ise lamina cam kırışerde zar gerilmeleri etkili olduğunda dayanım çarpanı üzerinde sıcaklığın etkisinin azalmasıdır. Yüksek doğrusal olmayan seviyelerde oldukça geniş sıcaklık aralığında dayanım çarpanı yumuşak PVB olsa dahi 1.0 civarına yaklaşmaktadır.

Güvenli ve iktisathî bir lamina cam tasarıımı için endüstriden sağlanan farklı PVB'lerle üretilmiş farklı geçiş sıcaklığına sahip lamina cam plaklar üzerine deneyler yapılmalıdır. Genel olarak, düşük sıcaklıklarda geçiş sıcaklığına sahip PVB sözkonusu olduğunda kesme modülündeki düşüşü telafi etmek için doğrusal olmayan davranışın sıcaklık etkisini ne kadar azalttığı incelemenlidir. Doğrusal olmayan davranış seviyesinin artması ile lamina camın göreceli olara güçlenmesi ve sıcaklık etkisinin azalması dayanım çarpanının 0.75 veya üzeri alınmasının uygun olacağı bu bu çalışmanın sonucu olarak söylenebilir.

Geliştirilen matematiksel modelin analitik olarak çözümlenmesi lamina camlara bakışı somutlaştmakta, lamina cam davranışının kavranmasını sağlamaktadır. Lamina cam kırışın uzunluğu ve kalınlığı kırışın davranışında ve cam parçalar ile PVB'nin birlikte çalışmasında, kesme gerilmesi aktarılmasında etkili olmaktadır. Uygulanan yüklerin taşınmasında eğilme ve PVB'deki kesme gerilmelerinin ortak çalışması ve ters ilişkisi matematiksel olarak gösterilmiştir. Lamina cam davranışının sınırlarının tabakalı cam davranışı ve gerçek yekpare cam davranışı olduğu gösterilmiştir.

KAYNAKLAR

- Behr, R.A., Minor, J.E., Linden, M.P., Vallabhan, C.V.G. (1985). "Laminated Glass units under uniform lateral pressure", Journal of Structural Engineering, 111(5), 1037-1050.
- Behr, R.A., Linden, M.P., ve Minor, J.E. (1986). "Load duration ve interlayer thickness effects on laminated glass", Journal of Structural Engineering, 112(6), 1441-53.
- Behr, R.A., Karson, M.J., ve Minor, J.E. (1991). "Reliability analysis of window glass failure pressure data", Structural Safety, 11, 43-58.
- Behr, R.A., Minor, J.E., Norville, H.S. (1993). "Structural behavior of architectural laminated glass", Journal of Structural Engineering, 119(1), 202-222.
- Bennison, S.J., Jagota, A., Smith, C.A. (1999). "Fracture of glass/poly(vinyl butyral) laminates in biaxial flexure", J. Am. Ceram. Soc., 82(7), 1761-1770.
- Edel, M.T. (1997). "The effect of temperature on the bending of laminated glass beams", M.S. Thesis, Texas AveM University, College Station, TX.
- Hildebrve, F.B. (1965). Methods of Applied Mechanics, Prentice-Hall, Inc., Englewood Cliffs, N.J.

Hooper, J.A. (1973). "On the bending of architectural laminated glass", Int. J. Mech. Sci., 15, 309-323.

Kanabolo, D.C. ve Norville, H.S. (1985). "The strength of new window glass plates using surface characteristics", NTIS Accession No. PB86-140100, Glass Res. Ve Testing Lab., Texas Tech.

Langhaar, H.L. (1962). Energy Methods in Applied Mechanics, John Wiley ve Jones, Inc., New York.

Linden, M.P., Minor, J.E., Behr, R.A., ve Vallabhan, C.V.G. (1983). "Evaluation of laterally loaded laminated glass by theory ve experiment". Report, Glass Res. Ve Testing Lab., Texas Tech.

Linden, M.P., Minor, J.E., ve Vallabhan, C.V.G. (1984). "Evaluation of laterally loaded laminated glass units by theory ve experiment". Supplemental Report No. 1, Glass Res. Ve Testing Lab., Texas Tech.

Minor, J.E., ve Reznik, P.L. (1990). Failure strengths of laminated glass", Journal of Structural Engineering, 116(4), 1030-1039.

Norville, H.S., King, K.W., Swofford J.L. (1998). "Behavior ve strength of laminated glass", Journal of Engineering Mechanics, 124(1), 46-53.

Reddy, J.N. (1984). Energy ve Variational Methods in Applied Mechanics, John Wiley ve Jones, Inc., New York.

Tuzcu, İ.E. (1998). "Thickness ve strength factor analyses of simply supported laminated glass units", M.S. Thesis, Middle East Technical University, Ankara.

Vallabhan, C.V., Minor, J.E., Nagalla S.R. (1987). "Stresses in layered glass units ve monolithic glass plates", Journal of Structural Engineering, 113(1), 36-43.

Vallabhan, C.V., Ramasamudra, M. (1991). "Properties of PVB (Saflex) interlayer used in laminated glass". Glass Res. Ve Testing Lab., Texas Tech.

Vallabhan, C.V., Das, Y.C, Magdi, M., Asik, M., Bailey, J.R. (1993). "Analysis of laminated glass units", Journal of Structural Engineering, 119(5), 1572-1585.

Van Duser, A., Jagota, A., Bennison, S.J. (1999). "Analysis of glass/polyvinyl butyral laminates subjected to uniform pressure" Journal of Engineering Mechanics, 125(4), 435-442.